

# FYSIKALISK KEMI

## FORELÄSNING 1

Skriv ut sammanfattningar till föreläsningarna dagen innan föreläsningen!

### ELEKTROKEMI

Atkins 16.6, 17.6-10

Laboration 3 handlar om elektrokemi

#### Jonlösningar - fig 16.43

- \* stark växelverkan
- \* en jon omges av en jonatmosfär av motjoner, vilket sänker den fria energin
- \* icke-idealitet även vid låga koncentrationer

#### Kemisk potential för jonlösningar

Molalitet (b) i stället för molbråk (x)

$$x_B = \frac{n_B}{n_A + n_B} \approx \frac{n_B}{n_A} = \frac{n_B}{m_A/M_A} = M_A b_B$$

$b_B = \frac{n_B}{m_A}$

$$\text{Henry's lag} \quad P_B = K_B x_B = \underbrace{K_B M_A b^*}_{K'_B} \frac{b_B}{b^*}$$

$$\text{Kemiska potentialen} \quad \mu_B = \mu_B^* + RT \ln \frac{P_B}{P_B^*} = \mu_B^* + RT \ln \frac{K'_B}{P_B^*} + RT \ln \frac{b_B}{b^*}$$

$$\mu_B = \mu_B^* + RT \ln \frac{b_B}{b^*}$$

Hypotetiskt standardtillstånd:  $b = b^* = 1 \text{ mol kg}^{-1}$ ,  
som följer Henrys lag

$$\mu_B = \mu_B^* + RT \ln a_B$$

$$a_B = \gamma_B \frac{b_B}{b^*}, \quad \gamma_B \rightarrow 1 \quad \text{då} \quad b_B \rightarrow 0$$

Löser ett salt i vatten



Tittar på kemiska potentialen för positiva respektive negativa enheter

$$\begin{aligned} \mu_+ &= \mu_+^* + RT \ln \gamma_+ \frac{b_+}{b^*} = \mu_+^* + RT \ln \frac{b_+}{b^*} + RT \ln \gamma_+ = \\ &= \mu_+^{\text{ideal}} + RT \ln \gamma_+ \end{aligned}$$

$$\mu_- = \mu_-^{\text{ideal}} + RT \ln \gamma_-$$

Vad är kemisk potential?

$$\mu_i = \left( \frac{\partial G}{\partial n_i} \right)_{T, P, n_j \neq i} \quad \begin{array}{l} \text{men, vi kan ej studera joner} \\ \text{utan motjoner (} n_j \neq i \text{ funkar inte)} \end{array}$$

Kan bestämma för hela saltet

$$\mu = \mu_r + \mu_e = \mu_r^{ideal} + \mu_e^{ideal} + RT \ln \gamma_+ + RT \ln \gamma_- = \mu^{ideal} + RT \ln \gamma_+ \gamma_-$$

Definierar en medelaktivitetsfaktor som

$$\gamma_{\pm} = (\gamma_+ \gamma_-)^{1/2}$$

Denna kan bestämmas, dvs vi kan skriva

$$\mu_+ = \mu_r^{ideal} + RT \ln \gamma_{\pm}$$

$$\mu_- = \mu_r^{ideal} + RT \ln \gamma_{\pm}$$

Generellt för ett salt  $M_p^{z+} X_q^{z-}$

$$\gamma_{\pm}^{p+q} = \gamma_+^p \gamma_-^q$$

$\mu = p \mu_+ + q \mu_-$  blir oberoende av om

$(\gamma_+, \gamma_-)$  eller  $\gamma_{\pm}$  används i

ekvationerna för  $\mu_+$  och  $\mu_-$

se-lab 3

## Debye-Hückelteorin (D-H)

$$10 \log \gamma_j^z = \frac{0,509 z_j^2 \sqrt{I}}{1 + \sqrt{I}}$$

där jons tärkan  $I = \frac{1}{2} \sum_i z_i^2 \left( \frac{b_i}{b^\circ} \right)$

D-H fungerar för  $I < 0,1$

Kan beräkna  $\gamma_{\pm}$  direkt

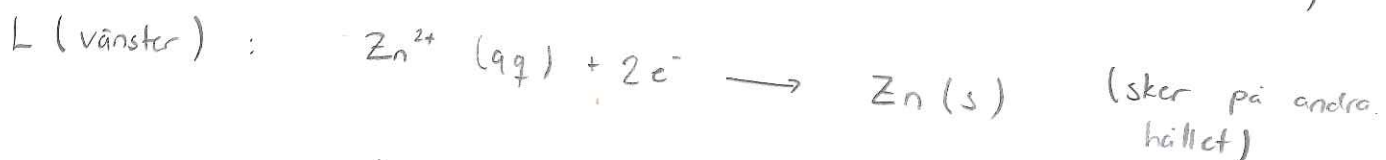
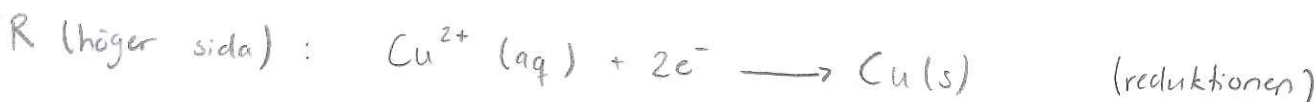
$$^{10} \log \gamma_{\pm} = - \frac{0,509 \cdot |z_+ z_-| \sqrt{I}}{1 + \sqrt{I}}$$

Då  $I \rightarrow 0 \Rightarrow$

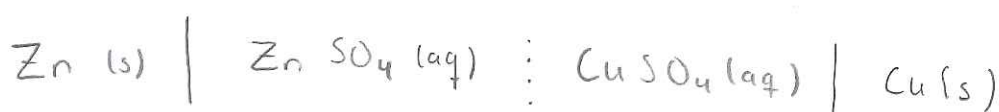
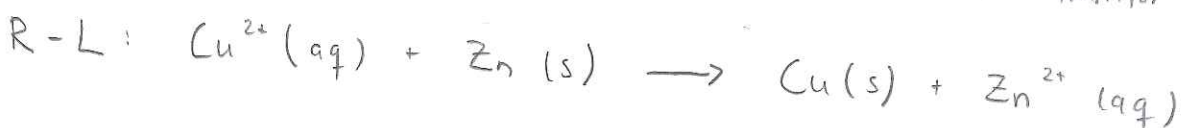
$$^{10} \log \gamma_{\pm} = - 0,509 \cdot |z_+ z_-| \sqrt{I} \quad \text{- Debye-Hückels gränslag}$$

## CELLSCHEMA OCH CELLREAKTION

Ex. Daniells cell



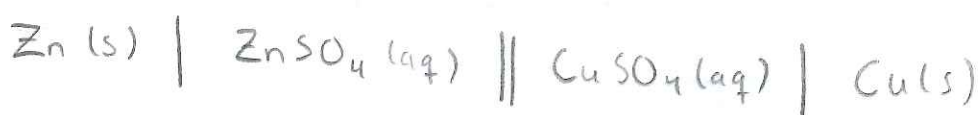
$v=2$  (stökmätriska koeficienten framför  $e^-$ )



fasgräns

vätskepotential

liquid junction potential



vätskepotentialen  
med saltbro  
Reduktionen till höger  
eliminerad, vanlig

$E > 0$ , spontan process

( $E$ - cellpotential)

## CELLPOTENTIAL

Elektriskt arbete

Från TD:  $dG \leq dW_e$

Maximala övriga arbetet ( $W_e$ ) färs under reversibla betingelser (TD -smf 1, s. 42)

$$dW_e = dG$$

$$\Delta G = \left( \frac{\partial G}{\partial \xi} \right)_{T, P}$$

$$dW_e = dG = \Delta G \, d\xi$$

Reaktionen framskrider  $d\xi$  (enhet: mol)

$\Rightarrow V d\xi$  mol elektroner transporteras med laddningen  $-e N_A V d\xi = -F V d\xi$

Faradays konstant  $F = e N_A = 96\ 485$

Arbete = laddning · potentialskillnad

$$dW_e = -F V d\xi \quad E = \Delta G \, d\xi$$

$$\boxed{\Delta G = -V F E}$$

## Nernsts ekvation (s. 574)

Från TD:  $\Delta G = \Delta G^\circ - RT \ln Q$

Dela med  $-VF \Rightarrow$

$$-\frac{\Delta G}{VF} = -\frac{\Delta G^\circ}{VF} - \frac{RT}{VF} \ln Q$$

$$\boxed{E = E^\circ - \frac{RT}{VF} \ln Q}$$

$$E^\circ = -\frac{\Delta G^\circ}{VF} \quad \text{standardcellpotentialen}$$

$$E = E^\circ \quad \text{då} \quad a_i = 1 \quad \text{och} \quad \ln Q = 0$$

$$\text{Jämvikt: } E = 0, \quad Q = K$$

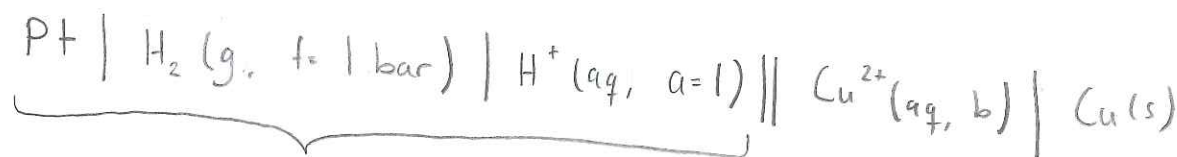
$$0 = E^\circ - \frac{RT}{VF} \ln K$$

$$\ln K = \frac{VF E^\circ}{RT}$$

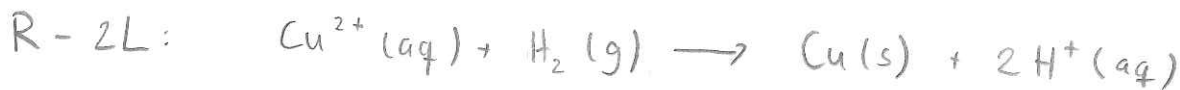
$$K = \prod_i a_i^{v_i}$$

## Elektropotential (s. 576)

Ex



Standard hydrogen electrode (SHE)



användar Nernst ekvation

$$E = E^\circ - \frac{RT}{2F} \ln \frac{a(\text{Cu(s)}) a^2(\text{H}^+)}{a(\text{Cu}^{2+}) a(\text{H}_2)}$$

$$E = E^\circ - \frac{RT}{V F} \ln \frac{1}{a(\text{Cu}^{2+})}$$

$$E = E_R - E_L = E_R - 0 = E_i$$

enligt def (SHE)

$E_i$ : elektropotentialen, halvcell potential

För en redoxreaktion "i"



$$E_i = E_i^\circ - \frac{RT}{V F} \ln \frac{a_{\text{red}}}{a_{\text{ox}}}$$

Standardelektropotentialen

För given cell:  $E^\circ = E_R^\circ - E_L^\circ$

$E^\circ > 0$  framåtreaktioner spontan

$E^\circ < 0$  bakåtreaktioner spontan

Gäller kvalitativt

## Elektrokemin i kursen

$$E = E^\circ - \frac{RT}{VF} \ln Q$$

$$Q = \prod_i a_i^{y_i}$$

$$a_i = y_i \frac{b_i}{b^\circ}$$

- Mät  $E$  vid låga halter ( $I < 0,1$ )

$y_i$  från P-H,  $E^\circ$  kan bestämmas

- $E^\circ$  känd  $y_i$  kan bestämmas för  $I < 0,1$   
via Nernsts ekvation

# FYSIKALISK KEMI

25/10

## FÖRELÄSNING 2

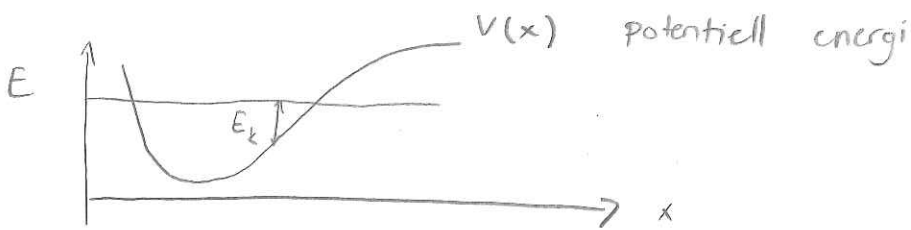
### Fotoelektrisk effekt

$$\frac{1}{2} m_e v^2 = h f - \phi$$

- Elektronens maximala kinetiska energi:  
fotonens energi minus utträdesarbetet

### KLASSISK MEKANIK

Partikel (m) i 1-dimension



$$E_k = \frac{1}{2} m v_x^2 = \frac{(m v_x)^2}{2m} = \frac{p_x^2}{2m}$$

där  $p_x = m v_x$

Hamilton funktionen

$$H = \frac{p_x^2}{2m} + V(x) = E$$

# TIDSOBEROENDE SCHRÖDINGEREKVATIONEN (S.E.)

$$\hat{H} \Psi = E \Psi$$

Hamiltonoperatorn

$$\hat{H} = -\frac{\hbar^2}{2m} \frac{d^2}{dx^2} + V(x)$$

$\hbar = \frac{h}{2\pi}$ ,  $\Psi(x)$ : vägfunktionen

sätter in uttrycket för  $\hat{H}$

$$\left( -\frac{\hbar^2}{2m} \frac{d^2}{dx^2} + V(x) \right) \Psi = E \Psi$$

$$-\frac{\hbar^2}{2m} \frac{d^2 \Psi}{dx^2} + V(x) \Psi = E \Psi$$

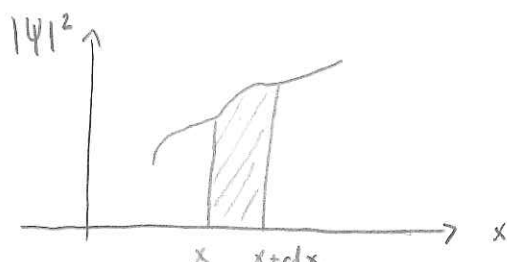
Lösningar till S.E.:  $E_i$ ,  $\Psi_i(x)$

$\Psi(x)$ : all dynamisk information om systemet

Tolkning av  $\Psi$  (Max Born, 1926):

$|\Psi|^2$  är en sannolikställhet, dvs sannolikheten

att finna partikeln mellan  $x$  och  $x+dx$   
ges av  $|\Psi|^2 dx$



$\Psi$  kan vara komplex:

$$\Psi = a + ib$$

$$|\Psi|^2 = \Psi^* \Psi = (a - ib)(a + ib) \\ = a^2 + b^2$$

(därför absolutbelopp, vill  
ha bort  $i$ )

## NORMERING

$$\Psi = N \psi \quad \text{Bestäm } N \text{ så att}$$

$$\boxed{\int_{-\infty}^{\infty} |\Psi|^2 dx = 1}$$

$$\int_{-\infty}^{\infty} |N \psi(x)|^2 dx = N^2 \int_{-\infty}^{\infty} |\psi(x)|^2 dx = 1 \Rightarrow N$$

$$\underline{\Psi} = N \psi \quad \text{är normerad}$$

$$\text{Generellt: } \int \psi^* \psi d\tau = 1$$

$$1D \quad d\tau = dx$$

$$3D \quad d\tau = dx dy dz$$



# FYSIKALISK KEMI

## FORELÄSNING 3

### PARTIKEL I LÅDA

fig 2.1

$$V(x) = \begin{cases} +\infty & x < 0 \\ 0 & 0 \leq x \leq L \\ +\infty & x > L \end{cases}$$

(potentiell energi)

I lädan:

$$\hat{H} = -\frac{\hbar^2}{2m} \frac{d^2}{dx^2}$$

$$\hat{H} \Psi = E \Psi \quad \text{som för fri partikel}$$

$$\Psi(x) = A e^{ikx} + B e^{-ikx}$$

$$k^2 = \frac{2mE}{\hbar^2}, \quad E = \frac{\hbar^2 k^2}{2m}$$

Randvillkor

$$x=0 : \Psi(0) = A + B = 0 \Rightarrow B = -A$$

( $\Psi = 0$  för  $x < 0$ ;  $\Psi$  måste vara kontinuerlig)

Skriver om lösningen

$$\Psi(x) = A [e^{ikx} - e^{-ikx}] = A [\cos kx + i \sin kx - \cos kx + i \sin kx] =$$

$$A \cdot 2i \sin kx = N \sin kx$$

$$x = L : \Psi(L) = N \sin(kL) = 0$$

$$kL = n\pi, \quad n \text{ halftal}$$

$$k = \frac{n\pi}{L} \Rightarrow E_n$$

$$\Rightarrow \Psi(x) = N \sin\left(\frac{n\pi x}{L}\right) \quad n = 1, 2, 3, \dots$$

Normering

$$\int_{-\infty}^{\infty} |\Psi(x)|^2 dx = N^2 \int_0^L \sin^2\left(\frac{n\pi x}{L}\right) dx = N^2 \frac{L}{2} = 1 \Rightarrow$$

$$N = \sqrt{\frac{2}{L}}$$

$$\therefore \Psi_n(x) = \sqrt{\frac{2}{L}} \sin\left(\frac{n\pi x}{L}\right)$$

$$E_n = \frac{n^2 h^2}{8mL^2} \quad n = 1, 2, \dots$$

Energinivåer för  
partikul i 1D-låda

$E_1 > 0$ : nollpunktsenergi

$$\Delta p \Delta q \geq \frac{\hbar}{2}$$

Heisenbergs osäkerhetsrelation

$$\Delta q \neq 0 \Rightarrow \Delta p \neq 0$$

$$\Delta p = (\underbrace{\langle p^2 \rangle - \langle p \rangle^2}_0)^{1/2} = \langle p^2 \rangle^{1/2} \neq 0$$

## TUNNELEFFEKTEN

I barriären

$$\hat{H} = \frac{\hbar^2}{2m} \frac{d^2}{dx^2} + V$$

V konstant  $V > E$   
|  
potentiell energi

$$-\frac{\hbar^2}{2m} \frac{d^2 \psi}{dx^2} + V \psi = E \psi$$

$$\frac{d^2 \Psi}{dx^2} + \frac{2m(E-V)}{\hbar^2} \Psi = 0$$

$$\Psi(x) = A e^{ikx}$$

en lösning

Nu är  $E - V < 0$

$$k = \frac{(-1)^2 2m(v-E)}{t} = -\kappa$$

$$\Psi(x) = A e^{i k x} = e^{-kx}$$

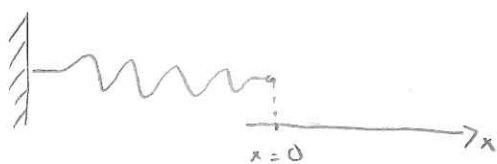
dvs exponentiellt avtagande funktion

liten massa  $\Rightarrow$  liten  $K$

dvs långsamt avtagande

## VIBRATIONSRÖRELSER

Harmoniska oscillationer (se också s. 8)



$$F = -kx \quad \text{Hooke's law}$$

$$F = - \frac{dV}{dx}$$

gradienten  
av potentiella  
energin

$$\int_0^x dv = k \int_0^x x dx$$

$$V = k \left[ \frac{x^2}{2} \right]_0^x = \frac{1}{2} k x^2$$

klassiska vibrationsfrekvensen

$$\boxed{\nu_e = \frac{1}{2\pi} \sqrt{\frac{k}{m}}}$$

lab 2!

$$\text{vinkel frekvensen } \omega_e = 2\pi \nu_e$$

Kvantmekanisk lösning

$$H = \frac{P_x^2}{2m} + \frac{1}{2} k x^2$$

$$\hat{H} = -\frac{\hbar^2}{2m} \frac{d^2}{dx^2} + \frac{1}{2} k x^2$$

$$\hat{H} \Psi = E \Psi$$

Lösning + randvillkor ger

$$E_v = \underline{(v + \frac{1}{2}) \hbar \nu_e} = (v + \frac{1}{2}) \hbar \omega_e$$

$$\Psi_v(x) = (\text{polynom}) e^{-ax^2}$$

$$v = 0, 1, 2, \dots$$

Energiegenvärden

$$E_0 = \frac{1}{2} \hbar \nu_e \quad \text{nollpunktsenergi:}$$

$$E_1 = \frac{3}{2} \hbar \nu_e$$

$$\Delta E = E_1 - E_0 = \hbar \nu_e$$

Varför är den harmoniska oscillatorn viktig?

Molekylvibrationer! (lab 2)

Taylorutveckla  $V(r)$  kring  $r = r_e$

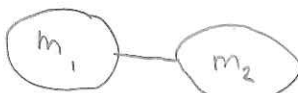
$$V(r) = V(r_e) + \frac{dV}{dr} \Big|_{r=r_e} (r - r_e) + \frac{1}{2} \frac{d^2V}{dr^2} \Big|_{r=r_e} (r - r_e)^2 \dots$$

↑  
sätt till  
0

$$k = \frac{d^2V}{dr^2} \Big|_{r=r_e}$$

$$V(r) = \frac{1}{2} k (r - r_e)^2$$

gäller bra kring jämviktsläget



m ersätts med

$$\mu = \frac{m_1 m_2}{m_1 + m_2}$$

reducerad massa

PARTIKEL I 2D-LÅDA

$$\hat{H} = -\frac{\hbar^2}{2m} \frac{\partial^2}{\partial x^2} - \frac{\hbar^2}{2m} \frac{\partial^2}{\partial y^2}$$

$$\hat{H}\Psi = E\Psi$$

Ansats:  $\Psi(x,y) = X(x) Y(y)$

Variabelseparation

$$\hat{H}\psi = -\frac{\hbar^2}{2m} \left( \frac{\partial^2}{\partial x^2} + \frac{\partial^2}{\partial y^2} \right) \times_{(x)} \psi(y)$$

S.E.

$$-\frac{\hbar^2}{2m} Y \frac{d^2 X}{dx^2} - \frac{\hbar^2}{2m} X \frac{d^2 Y}{dy^2} = E X Y$$

Dela med XY

$$\underbrace{-\frac{\hbar^2}{2m} \frac{1}{X} \frac{d^2 X}{dx^2}}_{E_x} - \underbrace{-\frac{\hbar^2}{2m} \frac{1}{Y} \frac{d^2 Y}{dy^2}}_{E_y} = E$$

$$\begin{cases} -\frac{\hbar^2}{2m} \frac{1}{X} \frac{d^2 X}{dx^2} = E_x \\ -\frac{\hbar^2}{2m} \frac{1}{Y} \frac{d^2 Y}{dy^2} = E_y \end{cases} \quad \text{Trä ID-problem}$$

$$E_{n_1, n_2} = \left( \frac{n_1^2}{L_1^2} + \frac{n_2^2}{L_2^2} \right) \frac{\hbar^2}{8m}$$

$$0m \quad L_1 = L_2 = L$$

$$E_{n_1, n_2} = \left( n_1^2 + n_2^2 \right) \frac{\hbar^2}{8mL^2}$$

$$E_{1,2} = E_{2,1}$$

degeneration!

# ROTATIONSRÖRELSE

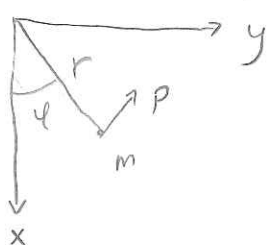
Rörelsemängdsmoment  $(L, J)$

$$L = r \times p = \begin{vmatrix} i & j & k \\ x & y & z \\ P_x & P_y & P_z \end{vmatrix}$$

$L$  är en fundamental storhet  
 $L$  bevaras (liksom  $E$ ) för ett isolerat system

Rotation i xy-planet

$$L_z = xP_y - yP_x$$



smidigare med polära koordinater istället

$$L_z = \pm r p$$

Rotationsenergin klassiskt

$$E = \frac{L_z^2}{2I}$$

$$I = mr^2$$

träghetsmomentet

$$\text{de Broglie: } \lambda = \frac{h}{p}$$

$$L_z = \pm pr = \pm \frac{hr}{\lambda}$$

krav: entydig vägfunktion, väglängden måste passa omkretsen

$$2\pi r = \lambda m_l \quad m_l = 0, \pm 1, \pm 2, \dots$$

$$\frac{r}{\lambda} = \frac{m_e}{2\pi}$$

$$L_z = \pm \frac{\hbar}{2\pi} m_e = \pm \hbar m_e$$

tar de Braglie till det klassiska

$$E = \frac{\hbar^2 m_e^2}{2I} \quad m_e = 0, \pm 1, \pm 2, \dots$$

$$m_e = 0 \Rightarrow E = 0$$

Ingen nollpunktenergi

En "riktig" lösning

Lös S.E.

$$\hat{H}\psi = E\psi$$

$$\hat{H} = \frac{\hat{L}_z^2}{2I}$$

$$\hat{L}_z = (\hat{x}\hat{p}_x - \hat{y}\hat{p}_y) = -i\hbar(x\frac{\partial}{\partial y} - y\frac{\partial}{\partial x})$$

Enklare i polära koordinater

$$\hat{L}_z = -i\hbar \frac{\partial}{\partial \phi} \quad (\text{uppgift FK s. 2})$$

# FYSIKALISK KEMI

## FÖRELÄSNING 4

### ROTATION I 3D

två cykliska randvillkor (för  $\theta$  och  $\phi$ ) ger  
tre kvanttal

köordinater ( $r, \theta, \phi$ )  
vill hitta egenfunktioner, löser schrödinger

$$\hat{H} \Psi = E \Psi$$

$$\hat{H} = \frac{\hat{L}^2}{2I}, \quad I = mr^2, \quad r = \text{konstant} \quad (I = \text{träghetsmoment})$$

Sök egenfunktioner till  $\hat{L}^2$  (rörelsemängdsmomentsoperationen)

Ansats (variabelseparation):  $\Psi = \Theta(\theta) \Phi(\phi)$

$$\Rightarrow \Psi = Y_{\lambda, m_\lambda}(\theta, \phi) \quad \text{klotytfunktioner}$$

$$\lambda = 0, 1, 2$$

$$m_\lambda = 0, \pm 1, \pm 2, \dots, \pm \lambda$$

$$\hat{L}^2 = \hbar^2 \lambda (\lambda + 1), \quad L = \hbar \sqrt{\lambda (\lambda + 1)}$$

$$L_z = m_\lambda \hbar$$

$$E = \frac{\hbar^2 \lambda (\lambda + 1)}{2I}$$

skl rotor

$$\lambda = 0 : E = 0 \quad (\text{ingen nollpunktsenergi})$$

$$g_\lambda = 2\lambda + 1$$

Olika  $m_\lambda$ -värden  
Samma energi

Beloppet av  $\hat{L}$  och en komponent ( $L_z$ ) kan bestämmas samtidigt

$\hat{L}^2$  och  $\hat{L}_z$  kommuterar, dvs

$$[\hat{L}^2, \hat{L}_z] = \hat{L}^2 \hat{L}_z - \hat{L}_z \hat{L}^2 = 0$$

$$[\hat{L}_x, \hat{L}_y] \neq 0 \quad \text{man kan inte känna båda samtidigt}$$

s. 90-91, vektormodeller

Att två operatorer kommuterar innebär att vi kan känna båda samtidigt

Vad roterar?

- Elektroner i atomer
- Molekyler

SPINN (också rörelsemängdsmoment)

Relativistisk effekt (Dirac 1928)

En egenskap hos partiklar, liksom massa och laddning  
Grov klassisk bild:

rotation kring en axel genom partikeln  
elektronen:  $s = \frac{1}{2}$  (fermion, med halvtaliga spinn)

fotonen:  $s = 1$  (boson)

beloppet av spinnet:  $\hbar \sqrt{s(s+1)}$

$z$ -komponenten:  $m_s, \hbar, m_s = s, s-1, \dots -s$

elektronen:  $s = \frac{1}{2}$

$m_s = \frac{1}{2}$  ( $\alpha$ , spin upp)

$m_s = -\frac{1}{2}$  ( $\beta$ , spin ned)

belopp:  $\hbar \sqrt{s(s+1)} = \hbar \sqrt{\frac{3}{4}} = \frac{\hbar \sqrt{3}}{2}$

### Radialdelen (H-liknande atomer)

$$R_{n,l}(r) = (\text{polynom}) e^{-ar}$$

1).  $R_{n,l}(r) \rightarrow 0$  då  $r \rightarrow \infty$  pga expfunktioner

2).  $R_{n,l}(r) \rightarrow 0$  då  $r \rightarrow 0$  för  $r > 0$

$$V_{\text{eff}}(r) = -\frac{Ze^2}{(4\pi\epsilon_0)r} + \frac{\hbar^2 l(l+1)}{2\mu r^2}$$

$$l > 0 \Rightarrow V_{\text{eff}}(1) \rightarrow +\infty \text{ då } r \rightarrow 0$$

3). Noder, dvs  $R_{n,l}(r) = 0$ , pga nollställen till polynomet

antalet:  $n-l-1$

Ex

$$n=3, l=1 : n-l-1 = 1$$

## Atomära enheter

Smf. s || (tab 4.1)

$$f = \frac{2z}{n^2} r$$

$$a = \frac{(4\pi\epsilon_0) h^2}{Me^2} \approx \frac{(4\pi\epsilon_0) h^2}{m_e e^2} = a_0$$

$$a_0 \approx 0.529177 \text{ \AA}$$

Bohrradien

$$f \approx \frac{2z}{n} \frac{r}{a_0} \rightarrow \frac{2z}{n} r \text{ i a.u}$$

Ex

1s för H:  $z=1, n=1$

$$f = 2r$$

$$R_{1,0} = 2e^{-r}$$

## Atomorbitaler

en-elektronvägfunktioner

$$\Psi_{n,l,m_l}(r, \theta, \phi) = R_{n,l}(r) Y_{l,m_l}(\theta, \phi)$$

$n = 1, 2, 3, \dots$

$$E_n = -\frac{\hbar c R_\infty z^2}{n^2}$$

$$R_\infty = 109737 \text{ cm}^{-1}$$

$$l = 0, 1, 2, \dots, n-1$$

$$L = \hbar \sqrt{l(l+1)}$$

$$m_l = 0, \pm 1, \pm 2, \dots, \pm l$$

$$L_z = \hbar m_l$$

Antal tillstånd för givet  $n$ :  $n^2$  (visual)

Dessutom: elektronen har spinn ( $s = \frac{1}{2}$ )

$$m_s = +\frac{1}{2} \quad m_s = -\frac{1}{2}$$

4 kvanttal, degeneration  $2n^2$

### S-orbitaler

H, dvs  $Z = 1$

$$1s \quad n=1, \quad l=0, \quad m_l=0$$

$$\Psi_{1s} = R_{1,0}(r) Y_{0,0}(\theta, \phi)$$

$$\text{tab. 3.2.} \quad Y_{0,0} = \frac{1}{\sqrt{4\pi}}$$

tab 4.1.

$$R_{1,0} = 2e^{-r} \quad (\text{i a.u})$$

$$\Psi_{1s} = \frac{1}{\sqrt{\pi}} e^{-r} \quad \begin{matrix} \text{beror ej av } \theta, \phi \\ \text{sfäriskt symmetrisk} \end{matrix}$$

$$\text{fig 4.10} \quad 2s: \quad n-l-1 = 2-0-1 = 1$$

Är  $\Psi_{1s}$  normalerad

$$\int |\Psi_{1s}|^2 d\tau \quad \Psi_{1s} = \frac{1}{\sqrt{\pi}} e^{-r}$$

$$d\tau = r^2 \sin \theta dr d\theta d\phi$$

$$\underbrace{\int_0^\pi \sin \theta d\theta}_{[-\cos \theta]_0^\pi = 2} \underbrace{\int_0^{2\pi} d\phi}_{2\pi} \int_0^\infty r^2 \frac{1}{\pi} e^{-2r} dr$$

$\left. \frac{1}{4\pi} \right\}$  vinkeldelen

$$\int |\Psi_{1s}|^2 d\tau = 4\pi \cdot \frac{1}{\pi} \cdot \int_0^\infty r^2 e^{-2r} dr =$$

$$4 \cdot \frac{2!}{2^3} = 4 \cdot \frac{1}{4} = 1$$

Svar: Ja, den är normerad

Beräkning av  $\langle r \rangle$  för  $\Psi_{1s}$  (förväntningsvärdet)

$$\langle r \rangle = \frac{\int \Psi^* \hat{r} \Psi d\tau}{\int \Psi^* \Psi d\tau} = \int \Psi^* \hat{r} \Psi d\tau$$

$= 1$  ty normerad

$$\Psi = \frac{1}{\sqrt{\pi}} e^{-r}$$

$$\begin{aligned} \langle r \rangle &= \frac{1}{\pi} \int_0^\pi \sin \theta d\theta \int_0^{2\pi} d\phi \int_0^\infty r^3 e^{-2r} dr = \\ &= \frac{1}{\pi} \cdot \underbrace{2 \cdot 2\pi}_{4\pi} \cdot \frac{8!}{2^4} = \frac{4 \cdot 6}{16} = 1,5 a_0 \approx 0,79 \text{ Å} \end{aligned}$$

Mest sannolikt  $r$  ( $r_{mp}$ )

Sannolikheten att finna  $e^-$  vid  $(r, \theta, \phi)$

$$|\Psi|^2 r^2 \sin \theta dr d\theta d\phi$$

$$\Psi = R(r) Y(\theta, \phi)$$

Integrera över  $(\theta, \phi) \Rightarrow$

Sannolikheten att finna e<sup>-</sup> mellan r och r+dr

$$\begin{aligned} &= \underbrace{\int_0^\pi d\theta \sin\theta \int_0^{2\pi} d\phi}_{=} |Y|^2 R^2 r^2 dr = \underbrace{r^2 R_{n,l}^2(r) dr}_{P(r)} = \\ &= 1, Y(\theta, \phi) \text{ är} \\ &\quad \text{normalerad på } (\theta, \phi) \\ ) &= P(r) dr \\ & \quad / \\ & \quad \text{radiella fördelningsfunktionen} \end{aligned}$$

For s-orbitaler (specialfall) :

$$P(r) = 4\pi r^2 |\psi|^2$$

$$P(r) dr = |\psi|^2 \underbrace{4\pi r^2 dr}_{\text{volymen av ett sfäriskt skål}}$$

$$\psi_{1s} = \frac{1}{\sqrt{\pi}} e^{-r}$$

$$P(r) = \frac{1}{\pi} e^{-2r} 4\pi r^2 = 4r^2 e^{-2r}$$

$$\text{Max : } \frac{dP}{dr} = 0$$

$$\frac{dP}{dr} = 4(2r e^{-2r} + r^2 e^{-2r}(-2)) = 8r e^{-2r} (1-r) = 0$$

$$r_{mp} = 1 a_0$$



# FYSIKALISK KEMI

## FÖRELÄSNING 5

### Spektroskopi (väteliknande atomer)

$$\boxed{\Delta E = E_2 - E_1 = h\tilde{v}} = h \frac{c}{\lambda} = \boxed{h c \tilde{v}}$$

$$E_n = - \frac{hc R_\infty Z^2}{n^2}$$

( $R$  - Rydbergs konstant  
 $Z$  - antal protoner)  
 $n = 1, 2, 3, \dots$  kvanttal

sätter in i  $\Delta E$ , ger

$$-hc R_\infty Z^2 \left( \frac{1}{n_2^2} - \frac{1}{n_1^2} \right) = hc \tilde{v}$$

$$\tilde{v} = R_\infty Z^2 \left( \frac{1}{n_2^2} - \frac{1}{n_1^2} \right)$$

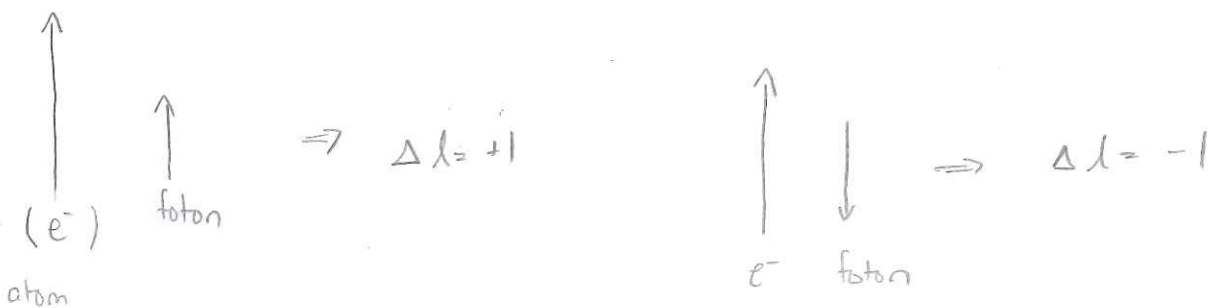
$\uparrow$   
 $109737 \text{ cm}^{-1}$

approximation:  $\mu \approx m_e$

urvalsregel:  $\Delta l = \pm 1$

orsak: fotonen har spinn

L och S är vektorer, dvs



$P_x$  och  $P_y$  från  $m_\ell = \pm 1$

$$\Psi_+ = c e^{i\phi} \quad \Psi_- = c e^{-i\phi}$$

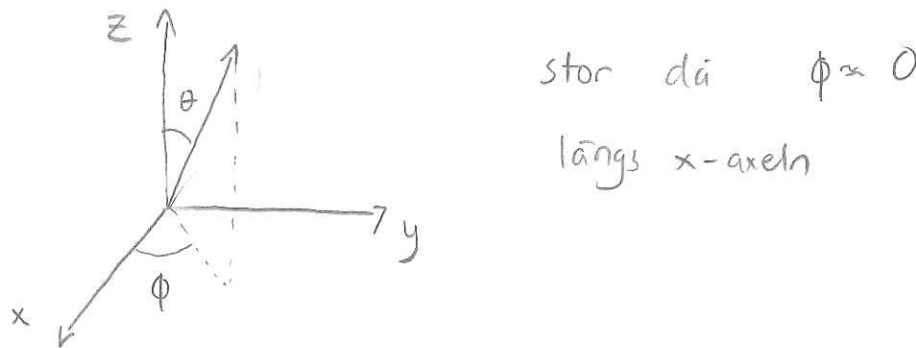
sannolikhetstätheten

$$|\Psi_+|^2 + |\Psi_-|^2 = c^2 + c^2 = 2c^2$$

$$P_x = \frac{1}{\sqrt{2}} (\Psi_+ + \Psi_-) \quad \text{linsärkombination}$$

$$P_x = \frac{1}{\sqrt{2}} c (\cos \phi + i \sin \phi + \cos \phi - i \sin \phi) =$$

$$\frac{1}{\sqrt{2}} c 2 \cos \phi = \sqrt{2} c \cos \phi$$



$$P_y = \frac{1}{\sqrt{2}} i (\Psi_+ - \Psi_-) = \frac{1}{\sqrt{2}} c (-i) (\cos \phi + i \sin \phi - \cos \phi + i \sin \phi) = c \sqrt{2} \sin \phi$$

stor då  $\phi \approx 90^\circ$  längs y-axeln

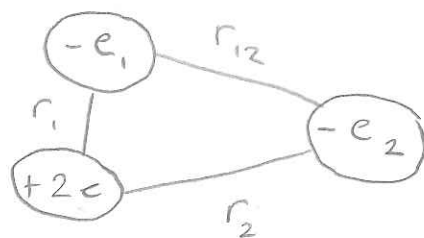
$$P_x^2 + P_y^2 = c^2 2 (\cos^2 \phi + \sin^2 \phi) = 2c^2 \quad \text{- sannolikhetstätheten är bevarad}$$

En linsärkombination av tre degenererade egenfunktioner kommer fortfarande vara en egenfunktion, se s 110

# Fleerelektronatomer

Ex

He



problem: elektron-elektronrepulsion

vi kan inte separera Schrödinger-ekvationen

approximation: antag att varje elektron rör sig i en sfäriskt symmetrisk medelpotential från kärnan och övriga elektroner

$\Rightarrow$  väte liknande problem, men med olika  $Z_{\text{effektiv}}$  för elektronerna

orbitalapproximationen:

$$\Psi(r_1, r_2, \dots) = \Psi_1(r_1) \Psi_2(r_2) \dots$$

Energin beror nu av  $n$  och  $l$

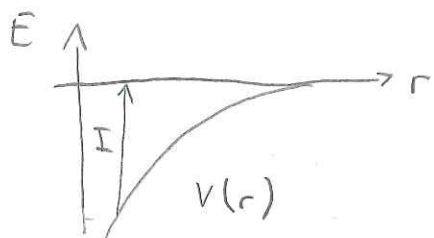
vanligen  $E_s < E_p < E_d$  (för givet  $n$ )

Beror på skärmning

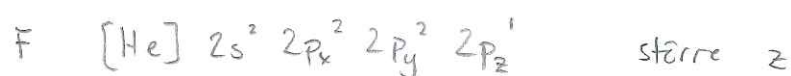
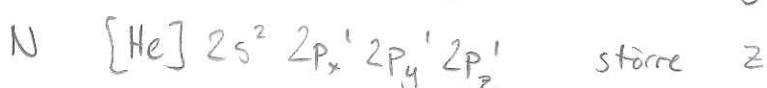
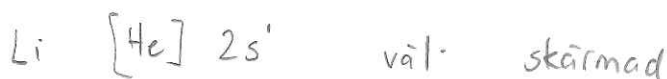
## Aufbauprincipen

Fyll orbitalerna med elektroner med hänsyn till uteslutningsprincipen och Hunds regel  
(Atkins 119, smf s. 15)

## Joniseringsenergi s. 121



I: den positiva energi som behövs tillföras för att  $e^-$  ska upp till nollnivån



# Multiplicitet

s. 123

He     $1s^2$     grundtillstånd    } elektronkonfigurationer  
 $1s' 2s'$     excitat                 }

$1s' 2s'$ :    två möjligheter

1).  $2s$   
 $1s$        $S = \frac{1}{2} - \frac{1}{2} = 0$

2).  $2s$   
 $1s$        $S = \frac{1}{2} + \frac{1}{2} = 1$

multipliciteten i de två fallen

1).  $S=0$      $2S+1=1$       ( $M_S=0$ )  
singlett

2).  $S=1$      $M_S = -1, 0, +1$

$2S+1 = 3$     triplett

Tripletter fig. 4.25

komposanter ( $s = \frac{1}{2}$ ):  $\hbar \sqrt{s(s+1)} = \frac{\hbar \sqrt{3}}{2} = a$

resultant ( $s=1$ ):  $\hbar \sqrt{s(s+1)} = \hbar \sqrt{2} = c$

$\alpha$

Tripletten ligger ca 0,8 eV lägre än singletten

## Spinnfunktioner

s. 116 - 117

Vägfunktionen inkl. spinn  $\Psi$

Koordinatfunktionen (från S.E.)

$\Psi$

Spinnfunktion  $\sigma$

$$\Psi = \psi \sigma$$

↑

är mest varå antisymmetrisk

$$\text{dvs } \Psi(1,2) = -\Psi(2,1)$$

enligt Pauliprincipen

En konsekvens: uteslutningsprincipen

## Ex

He ( $1s^2$ ) singlett

He ( $1s'2s'$ ) singlett, triplett

(smf s. 16)

## Magnetiska moment

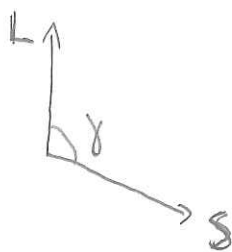
Rörliga laddningar skapar magnetfält

Elektronens banrörelse och spinn skapar magnetiska moment, som växelverkar.

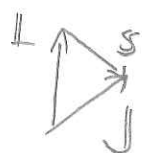
Spinn-bankoppling

fig 4.26

$$\Delta E \propto S \cdot L = S L \cos \gamma$$



$\Delta E$  negativ (sänkning av energin) om  $L$  och  $S$  motriktade



$$J = L + S \quad \uparrow$$

Detta motsvarar en liten  
resultant ( $J$ )

$\therefore L$  och  $S$  motriktade (litet  $J$ )  
ger låg energi:

## Finstruktur i spektrum

Na  $[Ne] 3s'$  exciteras till  $[Ne] 3p'$

$$l=1, s=\frac{1}{2}$$

$$j = l + s = \frac{3}{2}$$

$$j = l - s = \frac{1}{2}$$

splittring på grund av spinn-bankoppling  
fig 4.28

## Termssymboler för atomer

Klassificering av elektroniska tillstånd

Tag fram totala  $L$ - och  $S$ -kvantalen

För två elektroner med  $l_1$  och  $l_2$

$$L = l_1 + l_2, \quad l + l_2 - 1, \quad \dots, \quad |l_1 - l_2|$$

$$S = s_1 + s_2, \quad s_1 - s_2 = 1, 0 \quad (\text{e}^- \text{ har alltid } s = \frac{1}{2})$$

Totala  $J$ -kvanttalet

$$J = L + S, \quad L + S - 1, \quad \dots, \quad |L - S|$$

## Beteckning

$$^{2S+1}X_J \quad \text{termsymbol}$$

$$L : \quad 0 \quad 1 \quad 2 \quad 3$$

$$X : \quad S \quad P \quad D \quad F$$

Betrakta endast ofyllda skal

## Ex

$$\text{Na} \quad [\text{Ne}] \ 3s^1 \quad l=0 \quad s=\frac{1}{2}$$

$$L=0 \quad S=\frac{1}{2} \quad 2S+1=2$$

$$J=\frac{1}{2}$$

$$[\text{Ne}] \ 3p^1 \quad l=1 \quad s=\frac{1}{2} \quad ^2S_{1/2}$$

$$L=1 \quad S=\frac{1}{2} \quad 2S+1=2$$

$$J=\frac{3}{2}, \frac{1}{2}$$

ges termsymbol

$$^2P_{\frac{3}{2}, \frac{1}{2}}$$

# FYSIKALISK KEMI

## FÖRELÄSNING 6

### Spektroskopiska urvalsregler

(de viktigaste, smf. s 17, Atkins s. 126)

- \*  $\Delta S = 0$  spinnet ska inte ändras
- \*  $\Delta L = 0, \pm 1$  ( $\Delta l = \pm 1$ , fotonen har spinn)
- \*  $\Delta J = 0, \pm 1$

Skrivs med övre termen till vänster

Natriumexemplet



$$\lambda = \frac{1}{v}$$

$$\lambda = \frac{1}{1697300} = 589 \text{ nm} \quad (\text{gul-orange})$$



$$1 \text{ cm}^{-1} = (0,01 \text{ m})^{-1} = 100 \text{ m}^{-1} \quad - \text{viktigt samband}$$

### Termsymboler

Ex  $1s^2 2s^2 2p^1 4f^1$

$l=0$	$1$	$2$	$3$	$4$
s	p	d	f	g

$$l_1 = 1 \quad l_2 = 3$$

$$L = 4, 3, 2 \Rightarrow G, F, D$$

$$S_1 = S_2 = \frac{1}{2}$$

$$S = 1, 0 \Rightarrow 2S + 1 = \begin{cases} 1 \\ 3 \end{cases}$$

Hittar här faller då

$$L=4, S=0, J=4 \quad ^1G_4$$

$$S=1 \quad J=5, 4, 3 \quad ^3G_5, ^3G_4, ^3G_3$$

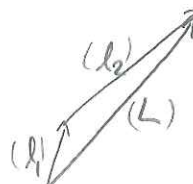
Tänk trianglar, häller på med

addition av  $L$ -vektorer

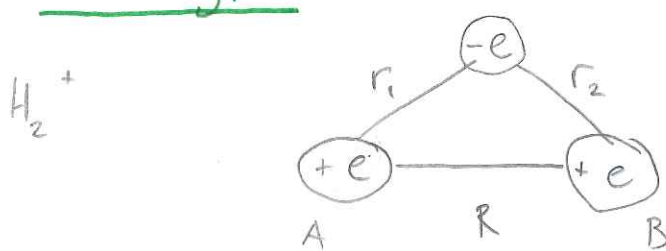
$$l_1 = 1 \quad \text{belopp} \quad \hbar \sqrt{l_1(l_1+1)} = \hbar \sqrt{2}$$

$$l_2 = 3 \quad \text{---} \quad \hbar \sqrt{l_2(l_2+1)} = \hbar \sqrt{12}$$

$$\begin{matrix} L=4 \\ 3 \\ 2 \end{matrix} \quad \text{---} \quad \hbar \sqrt{L(L+1)} = \hbar \sqrt{20}$$



## Molekyler



$\hat{H}$  i atomära enheter (a.u.)

$$\hat{H} = \underbrace{\frac{1}{2mp} \nabla_A^2}_{\text{kinetiska energioperatorn}} - \underbrace{\frac{1}{2mp} \nabla_B^2}_{E_k(A, B)} - \underbrace{\frac{1}{2} \nabla^2}_{\text{elektron}} - \underbrace{\frac{1}{r_1}}_{\text{inget massa}} - \underbrace{\frac{1}{r_2}}_{\text{ty a.u.}} + \underbrace{\frac{1}{R}}_{V}$$

$$m_p = 1836 m_e = 1836 \text{ au}$$

kärnorna rör sig mycket långsammare än elektronen

### Born-Oppenheimerapproximationen

Lös det elektroniska problemet

för en fix kärngeometri

$$\Rightarrow \hat{H} = \hat{H}_{el} + \frac{1}{R}$$

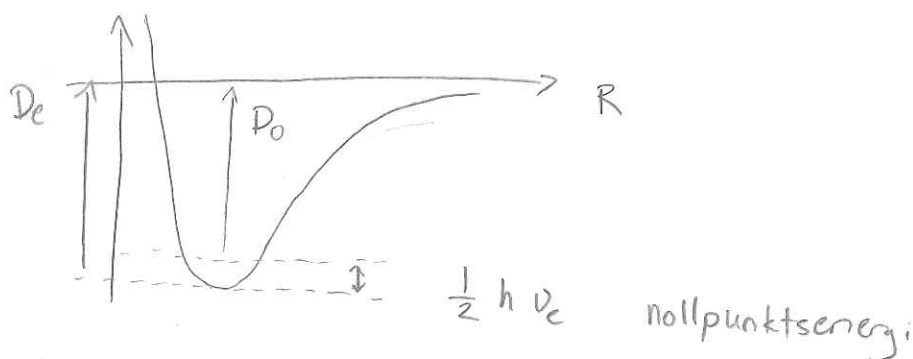
$$V_{rep} = \frac{1}{R}$$

$$\hat{H}_{el} = -\frac{1}{2} \nabla^2 - \frac{1}{r_1} - \frac{1}{r_2}$$

1. Lös  $\hat{H}_{el} \Psi = E_{el} \Psi \Rightarrow E_{el}, \Psi$  (egenvärden)

2.  $V = E_{el} + V_{rep}$

3. Nytt  $R \Rightarrow$  potentialkurva



$\Psi$  molekylorbitaler (en-elektronvriga funktioner)

## LCAO-MO-metoden

Linjärtolkning av atomorbitaler till molekylorbitaler



lösningar till väteatomen



$$\Psi = N(A \pm B), \quad N \text{ normering konstant}$$

$$A = \frac{1}{\sqrt{\pi r}} e^{-r_A} \quad \leftarrow \begin{matrix} \text{rcell} \\ (1s) \end{matrix} \quad \text{funktion}$$

MO med cylinder symmetri:  $\sigma$ -orbitaler

Betrakta  $\Psi = N(A + B)$  bindande MO

### Sannolikhetstätheten

$$|\Psi|^2 = N^2 (A^2 + B^2 + 2AB) = \{(A, B - \text{reella})\}$$

$$= N^2 \frac{1}{\pi} \left[ e^{-2r_A} + e^{-2r_B} + 2e^{-(r_A+r_B)} \right]$$

↑                      ↑                      ↑  
 stor      nära      stor      nära      stor      mellan  
 A                      B                      A och B

"konstruktiv interferens"

Bindning är komplicerad:

- AO "krymper" mer elektronställer nära kärnan  
⇒ lägre  $V$
- "krympningen" ökar  $E_k$  nära kärnan (blir spetsigare topp)
- elektronen delokaliseras -  $E_k$  minskar i yttre områdena

Betrakta  $\Psi = N(A - B)$  antibindande MO

$$|\Psi|^2 = N^2 (A^2 + B^2 - 2AB)$$

$|\Psi|^2$  noll mellan kärnorna - nad plan  
↑ destruktiv interferens

### Normering

$$\begin{aligned} \int |\Psi|^2 d\tau &= N^2 \left[ \underbrace{\int A d\tau}_1 + \underbrace{\int B d\tau}_1 \pm 2 \underbrace{\int AB d\tau}_S \right] \\ &= N^2 (1 + 1 \pm 2S) = 1 \Rightarrow \end{aligned}$$

$$N = \frac{1}{\sqrt{2(1 \pm 2S)}} \quad , \quad S = \int AB d\tau \quad \text{överlapsintegral}$$

### MO-energier (smf s. 19, Atkins s 144)

$$E = \int \Psi^* \hat{H} \Psi d\tau$$

$$\Psi = N(A - B)$$



$$\Psi = N(A + B)$$

Upprepa för olika  $R \Rightarrow$

två potentialkurvor ( $1\sigma_g$ ,  $1\sigma_u$ )

fig 5.14

# Paritet

Om  $\Psi$  ändrar tecken vid inversion: u (uklara)

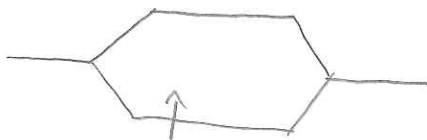
ingen teckenändring: g (gerade, jämn?) fig 5.20

Endast för symmetriska molekyler (typ  $A_e$ )

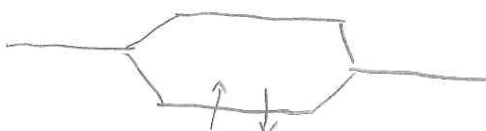
## Bindningsordning

$$b = \frac{1}{2} (n - n^*)$$

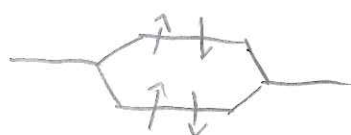
antalet bindande/antibindande elektroner



$$b = \frac{1}{2} (1 - 0) = \frac{1}{2}$$



$$b = \frac{1}{2} (2 - 0) = 1$$



$$b = \frac{1}{2} (2 - 2) = 0$$

Vi förväntar oss att stor  $b$  leder till stor  $D_0$  och liten  $R_0$



# $A_2$ - molekyler från 2:a perioden

Skapa MO från AO

Fyll MO med e<sup>-</sup> med hänsyn till  
uteslutningsprincipen och Hunds regel

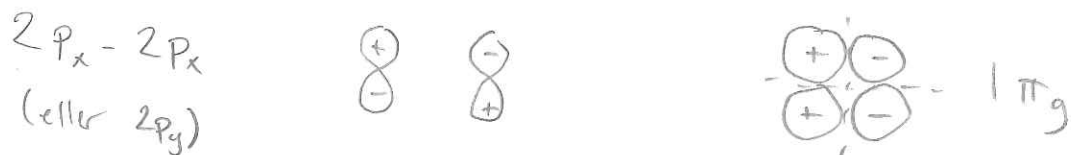
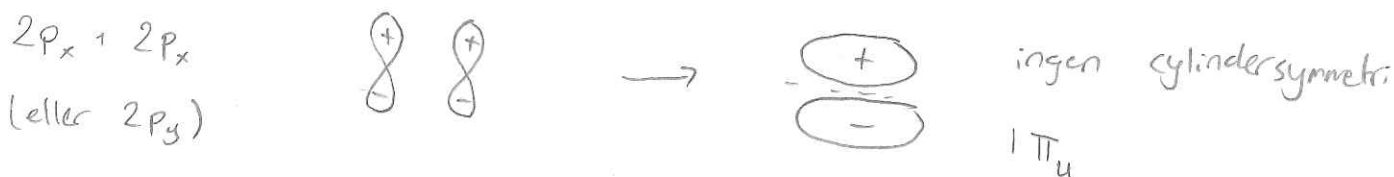
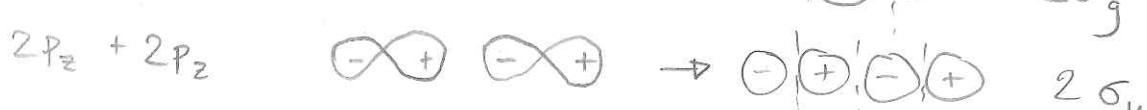
Vilka AO kan kombineras?

- \* Alla med samma symmetri med avseende på bindningsaxeln (z)
- \* Bör ha ungefär samma energi.

Betrakta valensorbitalerna



$1\sigma_g$  första  $\sigma$ -orbitalen soa  
är jämn



Dessutom:  $2s \pm 2p_z \quad \begin{array}{c} \oplus \\ \ominus \end{array} \quad \sigma$ -bidrag

men

$2s \pm 2p_x$  bidrar ej  $\textcircled{O}$   $\textcircled{8}$  fel symmetri

# FYSIKALISK KEMI

## FÖRELÄSNING 7

### Termsymboler för linjära molekyler

typ samma som för atomer, fast på grekiska

$$(s = \zeta, p = \pi, d = \delta)$$

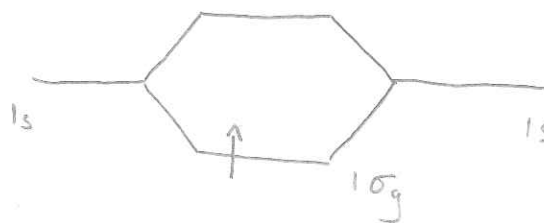
$$S = \Sigma, P = \pi, D = \Delta )$$

$$\Lambda = IM_L \quad \text{varför } z\text{-komponenten?}$$

$$[\hat{H}, \hat{L}^2] \neq 0$$

$$[\hat{H}, \hat{L}_z] = 0, \quad \text{dvs både } E \text{ och } L_z \text{ kan bestämmas samtidigt}$$

Exempel



orbitalbeteckning:  $\sigma$ : från  $1s$ -orbitaler ( $l=0$ , dvs  $m_l=0$ )

$$\lambda = 0$$

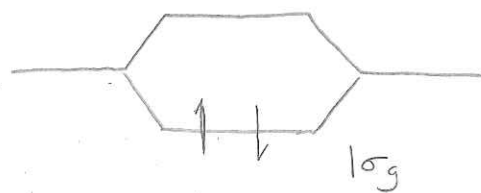
$$\Lambda = 0 \Rightarrow \Sigma$$

$$s = \frac{1}{2} \Rightarrow S = \frac{1}{2}, 2S+1=2$$

$$\Rightarrow {}^2\Sigma_g$$

Ex

H<sub>2</sub>



$$g \cdot g = g, s = 0$$

' $\Sigma_g$

fyllda nivåer ger ' $\Sigma_g$

Ex

O<sub>2</sub>



Π: från p<sub>x</sub> och p<sub>y</sub> ( $l=1, m_l = \pm 1$ )

$$M_L = \sum m_l = -2, 0, +2$$

$$\Lambda = |M_L| = 0, 2$$

eller se det så här

$$\left\{ \begin{array}{l} \text{Π: } \pi_1 = \pi_2 = 1 \\ \Lambda = |\pi_1 - \pi_2|, \pi_1 + \pi_2 = 0, 2 \end{array} \right.$$

$$\Lambda = 0, 2 \Rightarrow$$

$\Sigma, \Delta$

$$S = \frac{1}{2} - \frac{1}{2}, \frac{1}{2} + \frac{1}{2} = 0, 1, 2S+1 = 1, 3$$

$$g \cdot g = g$$

$^3\Sigma_g$  grundtillstånd enligt Hund

' $\Sigma_g$

' $\Delta_g$

$^3\Delta_g$  Bryter mot uteslutningsprincipen

$\Lambda = 2$  motsvarar att båda är har  $m_\lambda = +1$  eller  $m_\lambda = -1$ . Då mäste de ha olika spinn ( $\uparrow\downarrow$ )

### Heteronukleära diatomära molekyler

$$\Psi = C_A A + C_B B$$

$A_2$ -molekyler:  $|C_A|^2 = |C_B|^2$  opolar

AB-molekyler:  $|C_A|^2 \neq |C_B|^2$  polar bindning

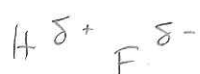
$A^+B^-$ :  $|C_A|^2 = 0$ ,  $|C_B|^2 = 1$  ionbindning

Exempel HF

H: 1s	F: $1s^2 2s^2 2p^5$	I (eV)
		H (1s) 13,6
		F (2s) 40,2
		F (2p) 17,9
$1s \pm 2p_z \Rightarrow \sigma, \sigma^*$		

(g och u bara när det är symmetri i systemet)

$$\Psi = 0,24 \Psi_H + 0,97 \Psi_F$$



Atomen har partialladdningar

Molekylen har dipolmoment

### Variationsmetoden

s. 153 smf s 22

$$\Psi = C_A A + C_B B \quad \text{Hur bestämma } C_A, C_B?$$

Utnyttja att

$$E = \frac{\int \Psi^* \hat{H} \Psi d\tau}{\int \Psi^* \Psi d\tau} \geq E_0$$

grändtillståndenergin  
enligt variationsprincipen

$$\begin{aligned}
 \text{Täljaren: } & \int (C_A A + C_B B) \hat{H} (C_A A + C_B B) d\tau = \\
 & = C_A^2 \int A \hat{H} A d\tau + C_A C_B \int A \hat{H} B d\tau + C_B C_A \int B \hat{H} A d\tau + \\
 & + C_B^2 \int B \hat{H} B d\tau = \\
 & = C_A^2 \alpha_A + C_B^2 \alpha_B + 2 C_A C_B \beta
 \end{aligned}$$

$$\left. \begin{array}{l} \alpha_A = \int A \hat{H} A d\tau \\ \alpha_B = \int B \hat{H} B d\tau \end{array} \right\} \begin{array}{l} \text{Coulombintegraller} \\ (\alpha < 0) \end{array}$$

$$\beta = \int A \hat{H} B d\tau = \int B \hat{H} A d\tau \quad \text{Resonansintegral} \quad (\beta < 0)$$

( $\hat{H}$  är hermitisk,  $A, B, \hat{H}$  reella)

$$\text{Nämnaren: } \int (C_A A + C_B B)^2 d\tau =$$

$$\begin{aligned}
 & = C_A^2 \int A^2 d\tau + C_B^2 \int B^2 d\tau + 2 C_A C_B \int AB d\tau = \\
 & = C_A^2 + C_B^2 + 2 C_A C_B S
 \end{aligned}$$

$$S = \int AB d\tau \quad \text{Överlapsintegral}$$

$$E = \frac{C_A^2 \alpha_A + C_B^2 \alpha_B + 2 C_A C_B \beta}{C_A^2 + C_B^2 + 2 C_A C_B S}$$

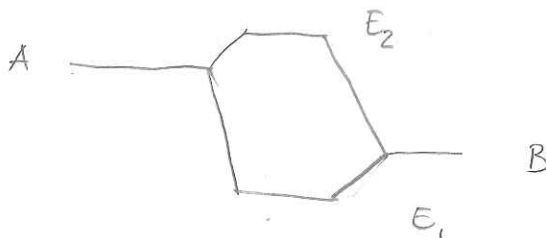
$$\text{Minimera } E: \quad \frac{\partial E}{\partial C_A} = 0 \quad \frac{\partial E}{\partial C_B} = 0$$

$$\Rightarrow \begin{pmatrix} \alpha_A - E & \beta - ES \\ \beta - ES & \alpha_B - E \end{pmatrix} \begin{pmatrix} C_A \\ C_B \end{pmatrix} = \begin{pmatrix} 0 \\ 0 \end{pmatrix}$$

hittar lösningar när koefficientdeterminanten är noll

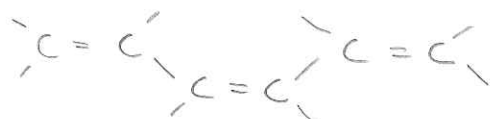
$$\begin{vmatrix} \alpha_A - E & \beta - ES \\ \beta - ES & \alpha_B - E \end{vmatrix} = 0 \Rightarrow E;$$

Sätt in  $E_1$  i ekvationssystemet  $\Rightarrow c_a, c_b$



## Hückelapproximationen

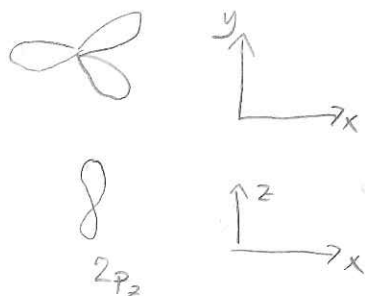
Fungerar för konjugerade molekyler



$sp^2$ -hybridiserade kolatomer



fig 5.8



Hückel: Beträkta endast  $\pi$ -systemet

$sp^2$ -orbitalerna bildar ett fixt "s-skelett"

## Eten



"VB" ideala elektronparbindningar



MO-beskrivning  
orbitalen över hela molekylen

## $\pi$ -systemet



① Eten

$$\Psi = C_A A + C_B B$$

A, B : C(2P<sub>z</sub>) variationsmetoden  $\Rightarrow$

$$\begin{vmatrix} \alpha - E & \beta - ES \\ \beta - ES & \alpha - E \end{vmatrix} = 0 \quad \text{i detta fall är } \alpha_A = \alpha_B = \alpha$$

Approximationerna:

1.  $S_{ij} = 0$  (bortser från överlappsintegralerna)
2.  $\alpha_i = \alpha$  (även då det inte är uppenbart)
3.  $\beta_{ij} = \beta$  om i och j är bundna  
0 om i och j ej är bundna

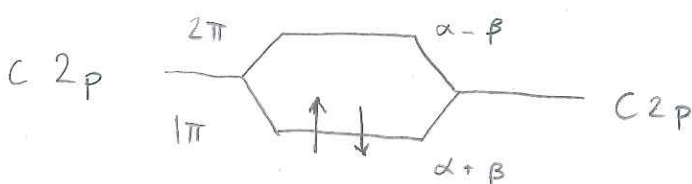
$$\begin{vmatrix} \alpha - E & \beta - ES \\ \beta - ES & \alpha - E \end{vmatrix} = (\alpha - E)^2 - \beta^2 = 0$$

$$(\alpha - E)^2 = \beta^2$$

$$\alpha - E = \pm \beta$$

$$E_- = \alpha - \beta > \alpha \quad \text{antibindande}$$

$$E_+ = \alpha + \beta < \alpha \quad \text{bindande}$$



Vareje kol bidrar med en elektron till  $\pi$ -systemet

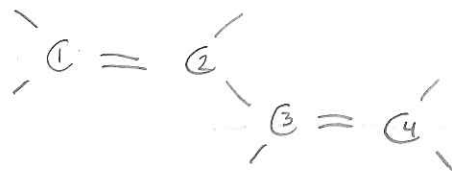
2π: LUMO }  
1π: HOMO } kemiskt intressanta

Spektroskopie:  $\pi^* \leftarrow \pi$  excitation

$$h\nu = \Delta E = E_{2\pi} - E_{\pi} = \alpha - \beta - (\alpha + \beta) = -2\beta$$

② Butadien

(s. 159)



### Hückel

$$\begin{vmatrix} \alpha - E & \beta & 0 & 0 \\ \beta & \alpha - E & \beta & 0 \\ 0 & \beta & \alpha - E & \beta \\ 0 & 0 & \beta & \alpha - E \end{vmatrix} = 0$$

$\Rightarrow$  Rötter

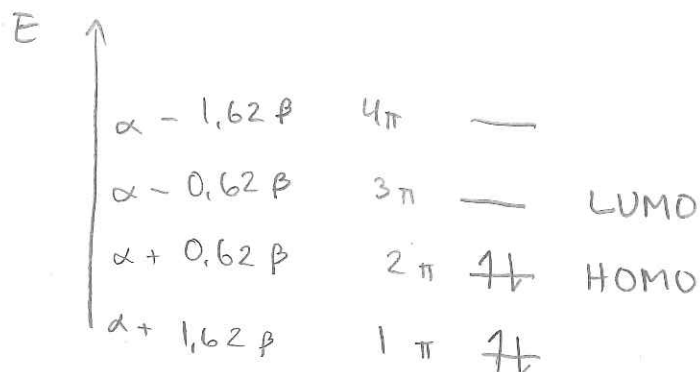


fig. 5.36

Grundzustand

1 $\pi^2$  2 $\pi^2$

$\pi$ -Elektronenergin

$$E_{\pi} = 2(\alpha + 1,62\beta) + 2(\alpha + 0,62\beta) = 4\alpha + 4,48\beta$$

Jämför eten

$$E_{\pi} = 2(\alpha + \beta) = 2\alpha + 2\beta$$

$$E_{\pi}(C_6H_6) - 2E_{\pi}(C_2H_4) = 0.48 \text{ eV} < 0$$

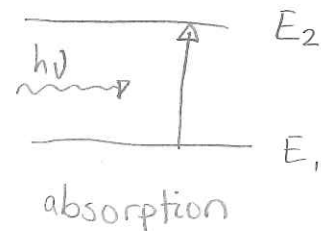
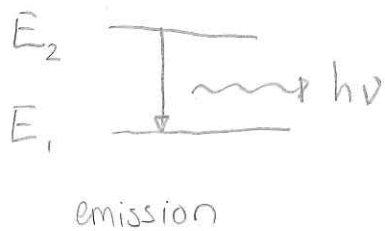
delokalisering energ:

# FYSIKALISK KEMI

## FÖRELÄSNING 8

### SPEKTROSKOPI

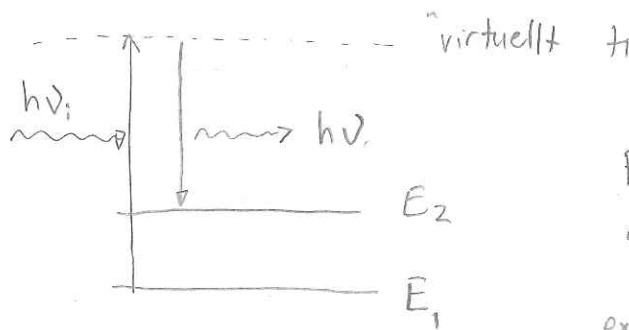
Växelverkan elektromagnetisk strålning - atomer/molekyler



Bohrs frekvensvillkor

$$\Delta E = h\nu$$

Inelastisk spridning av fotoner : Ramanprocessen



$$h\nu = h\nu_i - \Delta E$$

Ramanprocessen är osannolik ( $1:10 \cdot 10^6$ )

excitation: Stokes

de-excitation: anti-Stokes

### Rotationsspektroskopি

#### Träghetsmoment

Diatomära molekyler AB

$$E = \frac{\hbar J(J+1)}{2I} \quad J = 0, 1, 2, \dots$$

$$I = \sum_i m_i r_i^2 = m_A r_A^2 + m_B r_B^2$$



(som en gungbräda)

Stel rotor:  $r_A + r_B = r_e$  (jämviktsavståndet)

$$m_A r_A = m_B r_B$$

$$r_B = \frac{m_A}{m_B} r_A$$

$$r_A + \frac{m_A}{m_B} r_A = r_e$$

$$r_A \left( \frac{m_A + m_B}{m_B} \right) = r_e$$

$$r_A = \frac{m_B}{m} r_e \quad m = m_A + m_B$$

$$r_A = \frac{m_A}{m} r_e$$

$$I = m_A \frac{m_B^2}{m^2} r_e^2 + m_B \frac{m_A^2}{m^2} r_e^2 = \frac{m_A m_B}{m^2} r_e^2 (m_A + m_B) =$$

$$\boxed{\frac{m_A m_B}{m_A + m_B} r_e^2 = M r_e^2} \quad (\mu\text{-reducerade massan})$$

## Rotationsövergångar (i MW)

Stel rotor:

$$\boxed{E_J = \frac{\hbar^2}{2I} J(J+1)}, \quad J = 0, 1, \dots$$

Energin som vägtal:  $F_J = \frac{E_J}{hc} = B \cdot J(J+1)$

$$\boxed{B = \frac{\hbar^2}{2Ihc} = \frac{\hbar}{8\pi^2 I c}} \quad \text{rotationskonstanten}$$

Energinivåerna är degenererade

$$M_J = -J, -J+1, \dots, J$$

Degenerationsfaktor

$$g_J = 2J + 1$$

## Urvalsregler

Krav: permanent dipolmoment

HCl, CO, H<sub>2</sub>O har MW-spektrum (mikroväg)

H<sub>2</sub>, O<sub>2</sub>, CO<sub>2</sub> saknar MW-spektrum

$\Delta J = \pm 1$  (linjära molekyler) fotonen har spinn!

Bohr:  $\Delta E = E_{J+1} - E_J = h\nu = hc\tilde{\nu}$

$$\tilde{\nu} = \frac{E_{J+1} - E_J}{hc} = B \left[ (J+1)(J+2) - J(J+1) \right] = 2B(J+1)$$
$$J^2 + 3J + 2 - J^2 - J$$

J	övergång	$\tilde{\nu}$
0	$1 \leftarrow 0$	$2B$
1	$2 \leftarrow 1$	$4B$
2	$3 \leftarrow 2$	$6B$

∴  $2B$  mellan linjerna

Intensiteten beror approximativt på antalet molekyler i initialtillståndet

$$\text{Boltzmann: } N \propto e^{-E/k_B T}$$

OBS. Energinivåerna är degenererade  $g_J = 2J + 1$

- $J=0 \quad M_J = 0$
- $J=1 \quad M_J = -1, 0, 1$
- $J=2 \quad M_J = -2, -1, 0, 1, 2$

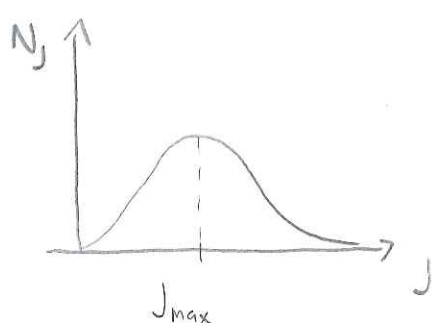
$$N_J = C \underbrace{(2J+1)}_{g_J} e^{-E_J/k_B T} = \left\{ E_J = \frac{\hbar^2}{2I} J(J+1) \right\} =$$

$$= C(2J+1) \exp(-hcB J(J+1)/k_B T) =$$

$$= C(2J+1) e^{-aJ(J+1)}$$

$$a = \frac{hcB}{k_B T}$$

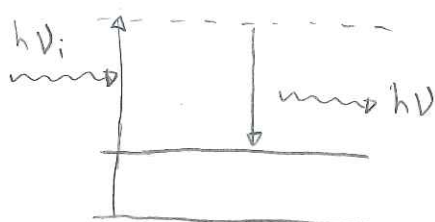
$$\frac{dN_J}{dJ} = 0 \quad (\text{sökt})$$



$$J_{\max} \approx \left( \frac{k_B T}{2hcB} \right)^{1/2} - \frac{1}{2}$$

$$\text{Eq } 10.19$$

### Rotations-Ramanspektroskopি



$$h\nu = h\nu_i - \Delta E_J$$

Dela med hc

$$\tilde{\nu} = \tilde{\nu} - \Delta F_J \quad , \quad F_J = \frac{E_J}{hc} = BJ(J+1)$$

### Urvalsregler

Molekylen måste ha anisotrop polariserbarhet  
(gäller alla linjära)

ΔJ = 0, ±2 (linjära molekyler) Tvåfotonprocess!

$\Delta J = +2$  (Stokes, frekvensen ut lägre än frekvensen in)

$$\tilde{v} = \tilde{v}_i - \Delta F_J = \left\{ \Delta F_J = F_{J+2} - F_J = B [ (J+2)(J+3) - J(J+1) ] \right\} = \\ = \tilde{v}_i - 2B(2J+3)$$

$\Delta J = -2$  (anti-Stokes)

$$\tilde{v} = \tilde{v}_i - \Delta F_J$$

$$\Delta F_J = F_{J-2} - F_J = B [ (J-2)(J-1) - J(J+1) ]$$

$$\Delta J = +2 \quad \tilde{v} = \tilde{v}_i - 2B(2J+3) \quad J = 0, 1, 2, \dots$$

$$\Delta J = -2 \quad \tilde{v} = \tilde{v}_i + 2B(2J-1) \quad J = 2, 3, \dots$$

Betrakta  $\Delta J = +2$  (Stokes, excitation)

J	övergång	$\tilde{v}$		
0	$2 \leftarrow 0$	$\tilde{v}_i - 6B$	separation	mellan
1	$3 \leftarrow 1$	$\tilde{v}_i - 10B$	topparna	: $4B$
2	$4 \leftarrow 2$	$\tilde{v}_i - 14B$	Gäller även	anti-Stokes

## Vibrationsspektroskopি

Harmonisk oscillator AB-molekyl

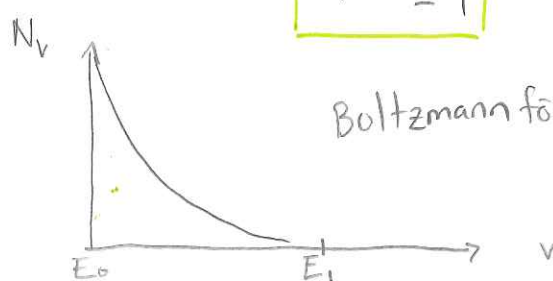
$$V = \frac{1}{2} k (r - r_e)^2, \quad k = \left. \frac{d^2 V}{dr^2} \right|_{r=r_e}$$

$$E_v = (v + \frac{1}{2}) h \nu_e$$

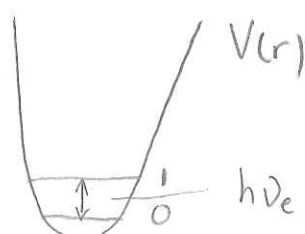
$$\nu_e = \frac{1}{2\pi} \sqrt{\frac{k}{M}}, \quad \mu = \frac{m_A m_B}{m_A + m_B}$$

Urvälsregel: molekylen måste ha oscillatorande dipolmoment

$$\boxed{\Delta v = \pm 1} \quad (\text{vibrationskvanttalet})$$



Boltzmann fördelningen



$$\text{ofta: } h\nu_e \gg k_B T$$

Nästan alla molekyler i  $v = 0$

Fundamentala övergången  $| \leftarrow 0$  domineras vid rumstemperatur

Dissociation ( $AB \rightarrow A + B$ ) kräver en anharmonisk modell - Morsepotentialen

$$V(r) = D_e \left[ 1 - e^{-\alpha(r - r_e)} \right]^2$$

$$E_v = (v + \frac{1}{2}) h\nu_e - (v + \frac{1}{2})^2 h x_e \nu_e$$

$$x_e = \frac{h\nu_e}{4D_e} \quad \text{anharmonicitetskonstanten}$$

övertoner möjliga  $2 \leftarrow 0, 3 \leftarrow 0$

$$\Delta E_v = E_{v+1} - E_v \quad \text{minskar med } v, \quad v \rightarrow v_{\max} \Rightarrow$$
$$\Rightarrow \Delta E_v \rightarrow 0 \quad \text{dissociation}$$

Lab 2

# FYSIKALISK KEMI

## FÖRELÄSNING 9

### Vib-rot-spektroskopি (IR)

Modell: stel rotor - harmonisk oscillator

Krav: oscillerande dipolmoment.

Absorptionsspektroskopи  $(v', J') \leftarrow (v'', J'')$

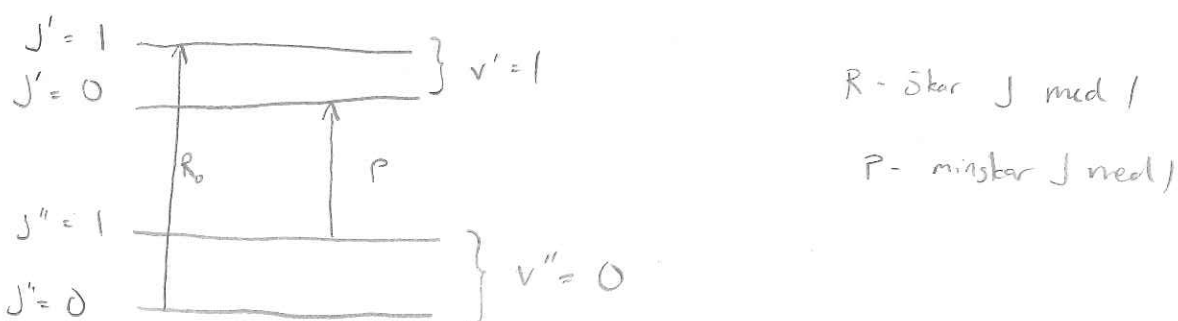
Rumstemperatur,  $v'' = 0$ ,  $v' = 1$  fundamentalövergången

$$\Delta E_{vJ} = \Delta E_v + \Delta E_J$$

Bohrs frekvensvillkor  $\Delta E_{vJ} = h\nu = hc\tilde{\nu}$

$$\Delta E_v = h\tilde{\nu}_e \quad \Delta v = \pm 1$$

$$\Delta E_J = E_{J+1} - E_J \quad \Delta J = \pm 1$$



$$\Delta J = -1 : P\text{-grenen} \quad J'' = J, \quad J' = J-1$$

$$\Delta J = +1 : R\text{-grenen} \quad J'' = J, \quad J' = J+1$$

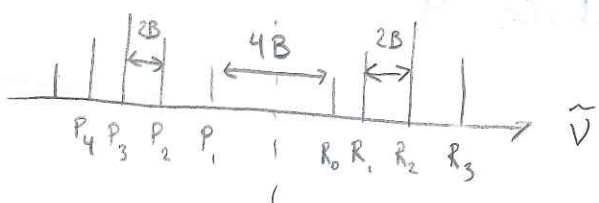
$$hc\tilde{\nu} = h\nu_e + \Delta E_J, \quad E_J = hcBJ(J+1)$$

$$\tilde{\nu} = \tilde{\nu}_e + \Delta F_J, \quad F_J = \frac{E_J}{hc} = BJ(J+1)$$

$$P: \quad \tilde{\nu} = \tilde{\nu}_e - 2BJ, \quad J = 1, 2, \dots$$

$$R: \quad \tilde{\nu} = \tilde{\nu}_e + 2B(J+1) \quad J = 0, 1, \dots$$

$Q$ -grenen ( $\Delta J = 0$ ) saknas vanligen



$Q$  saknas vanligen

## Vib-rot-spektroskopি Raman

krav: oscillerande polariserbarhet

$$\Delta v = \pm 1, \quad \Delta J = 0, \pm 2$$

$$\tilde{v} = \tilde{v}_i - \frac{\Delta E_{vJ}}{hc}$$

$$\Delta E_{vJ} = \Delta E_v + \Delta E_J$$

$$\frac{\Delta E_{vJ}}{hc} = \tilde{v}_e + \Delta F_J \quad (\Delta E_v = h\tilde{v}_e, \Delta v = +1)$$

excitation, Stokes

$$\tilde{v} = \tilde{v}_i - \tilde{v}_e - \Delta F_J, \quad F_J = BJ(J+1).$$

$$\begin{cases} O: \Delta J = -2 & \Delta F_J = F_{J-2} - F_J = -2B(2J-1) \\ Q: \Delta J = 0 & \Delta F_J = 0 \\ S: \Delta J = +2 & \Delta F_J = F_{J+2} - F_J = 2B(2J+3) \end{cases}$$

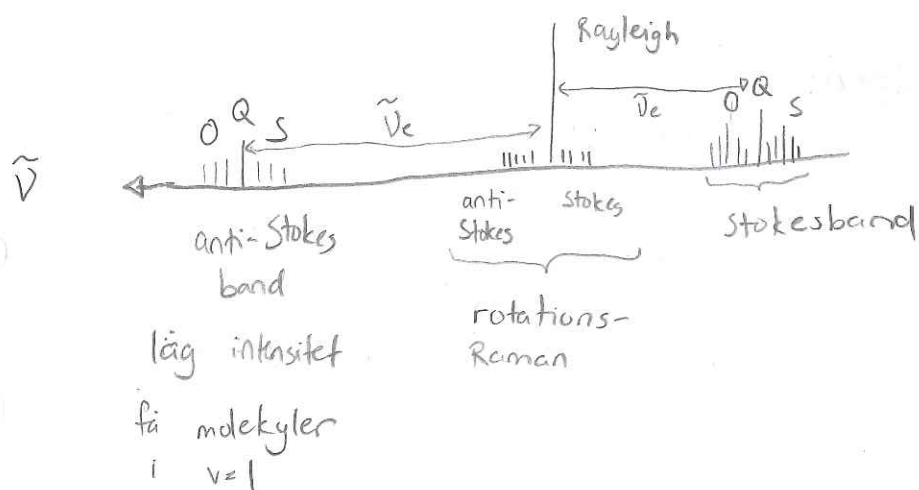
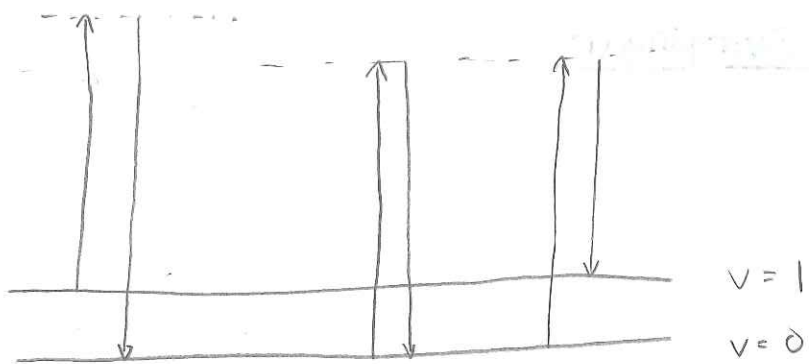
$$\begin{cases} O: \tilde{v} = \tilde{v}_i - \tilde{v}_e + 2B(2J-1), & J = 2, 3, \dots \\ Q: \tilde{v} = \tilde{v}_i - \tilde{v}_e \end{cases}$$

$$S: \tilde{v} = \tilde{v}_i - \tilde{v}_e - 2B(2J+3) \quad J = 0, 1, \dots$$

### Notera

$\Delta J$	-2	-1	0	1	2
	O	P	Q	R	S

4B mellan topparna; O- och S-grenarna första O- och S-linjen  
6B från Q



## Normalmodsvibrationer

En molekyl med  $N$  atomer beskrivs med  $3N$  koordinater

Translation :  $3 (x, y, z)$

Rotation :  $2 (\theta, \phi)$  om linjär

$3 (\theta, \phi, \psi)$  om icke-linjär

Antal oberoende vibrationer

$3N - 5$  om linjär

$3N - 6$  om icke-linjär

Normalmodsvibrationer är meningfulla vid låg energi

Ex.



$$3 \cdot 3 - 5 = 4 \text{ oberoende vibrationer}$$

Ex



$$3 \cdot 3 - 6 = 3$$

# Elektroniska övergångar

UV / VIS

VIS :  $700 - 400 \text{ nm}$  (synligt)  
 $1,8 - 3,1 \text{ eV}$

mellan potentialalytor

## Franck - Condonprincipen:

pga kärnornas stora massa sker elektron övergångarna "vertikalt", dvs med fixt kärnavstånd  
Stor övergångssannolikhet kräver stort överlapp hos vibrationsvägfunktionerna. Olika  $v'$  populeras olika övergangsmomentet

$$\mu_{fi} = \mu_{\varepsilon_f \varepsilon_i} \underbrace{\int(v_{fi} v_i)}_{\text{överlapp}}$$

Urvalsregler (diatomära molekyler)

$$\Delta S = 0, \quad \Delta A = 0, \pm 1$$

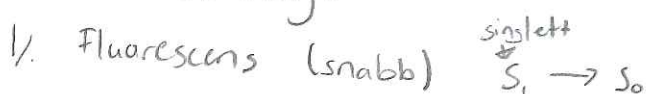


## Elektroniskt exciterade tillstånd (Lab 5)



Decaktivering via strålning:  $A^* \rightarrow A + h\nu'$

Strålninglös decaktivering:  $A^* \rightarrow A + \text{värme}$   
via strålning:





spinnbankoppling tillåter dessa  
förbjudna processer



# FYSIKALISK KEMI

## FÖRELÄSNING 10

### STATISTISK TERMODYNAMIK (B. 1-4)

#### Boltzmannfördelningen

N oberoende molekyler, vilka kan utbyta energi

Hur många molekyler,  $N_i$ , befinner sig i ett tillstånd med energi  $E_i$ ?

Bivillkor:  $N = \sum_i N_i$  (antalet partiklar bevaras)

$$E = \sum_i N_i E_i \quad E_0 = 0 \quad (\text{energin bevaras})$$

Alla mikrotillstånd med samma energi antas lika sannolika

#### Ex

$$1. \{N, 0, 0, 0, \dots\} \quad W = 1 \quad (\text{vikten } = W, \text{ antal sätt detta kan uppnås på})$$

$$2. \{N-2, 2, 0, 0, \dots\} \quad W = \frac{1}{2} N(N-1) \quad (\text{dela med 2 - spelar ingen roll vilken av sum plaskas upp först})$$

Generellt

Vikten av en konfiguration

$$W = \frac{N!}{N_0! N_1! N_2! \dots}$$

för Ex 2.

$$W = \frac{N!}{(N-2)! 2!} = \frac{N(N-1)}{2}$$

Maximera  $W$  med hänsyn till bivillkoren

$$\Rightarrow N_i = N_0 e^{-\beta \epsilon_i}$$

$$N = \sum_i N_i = N_0 \sum_i e^{-\beta \epsilon_i} = N_0 q$$

$$\text{sannolikheten } P_i = \frac{N_i}{N} = \frac{N_0 e^{-\beta \epsilon_i}}{N_0 q} = \frac{e^{-\beta \epsilon_i}}{q}$$

$$\beta = \frac{1}{k_B T}$$

$q$ : molekylära tillståndssumman (partitionsfunktionen)

$$q = \sum_i e^{-\beta \epsilon_i} \quad (\text{tillstånd})$$

$$q = \sum_i g_i e^{-\beta \epsilon_i} \quad (\text{energinivåer}, g - \text{degenerationsfaktorn})$$

$$\text{Om } T \rightarrow 0 \quad (\beta \rightarrow \infty) \quad q \rightarrow g_0$$

$$T \rightarrow \infty \quad (\beta \rightarrow 0) \quad q \rightarrow \infty$$

$q$ : ett mätt på antalet termiskt tillgängliga tillstånd

### Beräkning av $q$

$$q = \sum_i e^{-\beta \epsilon_i} \quad (i \text{ tillstånd})$$

Antag att  $\epsilon$  kan skrivas

$$\epsilon_i = \epsilon_i^T + \epsilon_i^R + \epsilon_i^V + \epsilon_i^E, \quad \text{då fas}$$

$$q = \sum e^{-\beta \epsilon_i^T} \sum e^{-\beta \epsilon_i^R} \sum e^{-\beta \epsilon_i^V} \sum e^{-\beta \epsilon_i^E} \quad (\text{vib. rot. transl. elekt})$$

dvs

$$q = q_T q_R q_V q_E$$

q för translation

Partikeln i lädan i 1D i x-led

$$E_n = \frac{n^2 h^2}{8 m x^2}$$

$$E_n = E_N - E_1 = (n^2 - 1)\varepsilon, \quad \varepsilon = \frac{h^2}{8 m x^2}$$

$$q_x = \sum_{n=1}^{\infty} e^{-\beta E_n} \approx \sum_{n=1}^{\infty} e^{-\beta \varepsilon n^2} \approx$$

$$\int_0^{\infty} e^{-\beta \varepsilon n^2} dn = t^2 = \beta \varepsilon n^2$$
$$2dt = 2\beta \varepsilon n dn$$

$$dn = \frac{dt}{\beta \varepsilon n} = \frac{n \sqrt{\beta \varepsilon} dt}{\beta \varepsilon n} = \frac{dt}{\sqrt{\beta \varepsilon}}$$

$$q_x = \frac{1}{\sqrt{\beta \varepsilon}} \int_0^{\infty} e^{-t^2} dt = \frac{1}{\sqrt{\beta \varepsilon}} \frac{\sqrt{\pi}}{2} = \frac{\pi}{\sqrt{4 \beta \varepsilon}} =$$
$$= \left( \frac{\pi k_B T 8 m x^2}{4 h^2} \right)^{1/2} = \left( \frac{2 \pi m k_B T}{h} \right)^{1/2} x = \frac{x}{\Lambda}$$

$$\boxed{\Lambda = \frac{h}{(h \pi m k_B T)^{1/2}}}$$

Termiska väglängden  $\Lambda$

Translation i rummet

$$E_{n_1, n_2, n_3} = E_{n_1}^x + E_{n_2}^y + E_{n_3}^z$$

Generellt gäller:  $\varepsilon = \sum_i \varepsilon_i \Rightarrow q = \prod_i q_i$

$$\text{dvs } \boxed{q_T = q_T^x q_T^y q_T^z = \frac{xyz}{\Lambda^3} = \frac{V}{\Lambda^3}}$$

## - q för rotation

### Linjära molekyler

$$q = \sum g_j e^{-E_j / k_B T}$$

$$g_j = 2J + 1$$

$$E_j = hcBj(J+1)$$

$$q = \sum_{J=0}^{\infty} (2J+1) e^{-\alpha J(J+1)} \quad \text{där} \quad q = \frac{hcB}{k_B T}$$

B liten, nivåerna ligger tätt

$$q \approx \int_0^{\infty} (2J+1) e^{-\alpha J(J+1)} dJ = \left\{ \begin{array}{l} x = J^2 + 1 \\ dx = (2J+1)dJ \end{array} \right\},$$

$$= \int_0^{\infty} e^{-\alpha x} dx = \left[ -\frac{1}{\alpha} e^{-\alpha x} \right]_0^{\infty} = \frac{1}{\alpha} =$$

$$= \frac{k_B T}{hcB} = \frac{T}{\Theta_R}, \quad \Theta_R = \frac{hcB}{k_B}$$

karakteristiska rotations-temperaturer

$$q_R = \frac{T}{\sigma \Theta_R}, \quad T \gg \Theta_R \quad (\text{vanligt ok})$$

$\sigma$ : symmetriatlet

för CO:  $\sigma = 1$

O<sub>2</sub>:  $\sigma = 2$

(Pauliprincipen, s. 421)

### Olinjära molekyler

$$q_R = \frac{1}{\sigma} \left( \frac{k_B T}{hc} \right)^{3/2} \left( \frac{\pi}{ABC} \right)^{1/2} = \frac{\sqrt{\pi}}{\sigma} \left( \frac{T_3}{\Theta_A \Theta_B \Theta_C} \right)^{1/2}$$

A, B, C: rotationskonstanter,  $\Theta_A = \frac{hcA}{k_B}$  etc.

$$\text{H}_2\text{O} : \sigma = 2$$

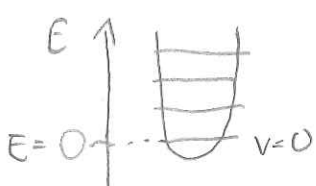
$$\text{NH}_3 : \sigma = 3$$

$$\text{CH}_4 : \sigma = 4 \cdot 3 = 12 \quad (\text{4 rotationsaxlar})$$

## - q för vibration

(harmonisk oscillator)

$$E_v = v h \nu_e \quad ; \quad v=0, 1, 2, \dots$$



$$q = \sum_{v=0}^{\infty} e^{-v h \nu_e / k_B T} = \\ = \sum_{v=0}^{\infty} e^{-v a} , \quad a = \frac{h \nu_e}{k_B T}$$

$$e^{-a} = x , \quad e^{-av} = x^v$$

$$q = \sum_{v=0}^{\infty} x^v = 1 + x + x^2 + \dots$$

$$xq = x + x^2 + \dots$$

$$q - xq = 1 \quad (x < 1)$$

$$q_v = \frac{1}{1-x} = \frac{1}{1-e^{-a}} = \left( 1 - e^{-\Theta_v/T} \right)^{-1}$$

$$\Theta_v = \frac{h \nu_e}{k_B}$$

$$\text{Om } T \gg \Theta_v : e^{-\Theta_v/T} \approx 1 - \frac{\Theta_v}{T}$$

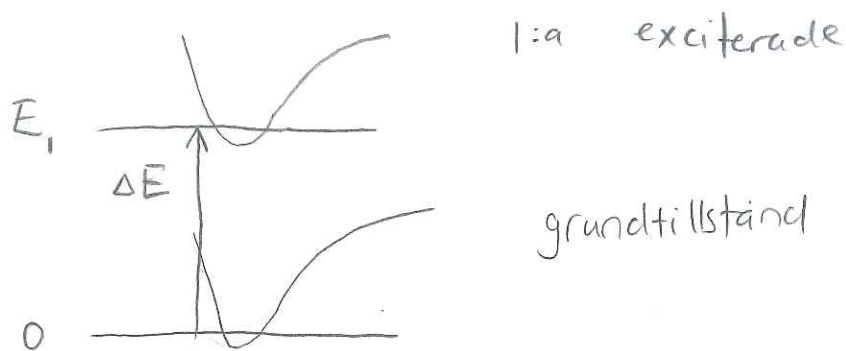
$$q \approx \left[ 1 - \left( 1 - \frac{\Theta_v}{T} \right) \right]^{-1} = \frac{T}{\Theta_v} = \frac{k_B T}{h \nu_e}$$

$$\text{CO: } \tilde{V}_e = 2170 \text{ cm}^{-1}$$

$$\Theta_V = \frac{hc\tilde{V}_e}{k_B} = 3122 \text{ K} \gg 298 \text{ K}$$

Vibrationer kan vanligen inte behandlas klassiskt

- q för elektroniska frihetsgrader



$$\Delta E \gg k_B T$$

$$q_E = \sum_i g_i e^{-E_i/k_B T} \approx g_0 + g_1 e^{-E_1/k_B T} \approx g_0$$

vid låg T

### Inre energi (U)

$$E = \sum_i N_i E_i = U$$

OBS! Nikolais val! Han läter  $U(T=0) = 0$ , dvs han inkluderar ej nollpunktsenergi.

Boltzmann

$$N_i = N_0 e^{-\beta E_i}$$

$$N = N_0 q$$

$$N_i = \frac{N}{q} e^{-\beta E_i}$$

$$U = \frac{N}{q} \sum_i e^{-\beta E_i}$$

Notera:  $\frac{d}{d\beta} e^{-\beta E_i} = -E_i e^{-\beta E_i}$

dvs  $-U = -\frac{N}{q} \sum_i \frac{d}{d\beta} e^{-\beta E_i} =$   
 $= -\frac{N}{q} \frac{d}{d\beta} \underbrace{\sum_i e^{-\beta E_i}}_q = -\frac{N}{q} \frac{dq}{d\beta}$

$$\therefore U = -\frac{N}{q} \left( \frac{\partial q}{\partial \beta} \right)_V = -N \left( \frac{\partial \ln q}{\partial \beta} \right)_V$$

$$\left. \begin{aligned} \frac{\partial \ln q}{\partial \beta} &= \frac{\partial \ln q}{\partial q} \frac{\partial q}{\partial \beta} = \frac{1}{q} \frac{\partial q}{\partial \beta} \\ \beta &= \frac{1}{k_B T} \end{aligned} \right\}$$

$$- N k_B T^2 \left( \frac{\partial \ln q}{\partial T} \right)_V$$

$$\langle \varepsilon \rangle = \frac{U}{N} = - \frac{1}{q} \left( \frac{\partial q}{\partial \beta} \right)_V$$



# FYSIKALISK KEMI

## FÖRELÄSNING II

Statistisk termodynamik, kap 13-15, 17  
 (bara vissa delar)

### INRE ENERGI

$$U = -\frac{N}{q} \left( \frac{\partial q}{\partial \beta} \right)_V = -N \left( \frac{\partial \ln q}{\partial \beta} \right)_V = \\ = N k_B T^2 \left( \frac{\partial \ln q}{\partial T} \right)_V$$

Molekylär meddenergi

$$\langle \varepsilon \rangle = \frac{U}{N} = -\frac{1}{q} \left( \frac{\partial q}{\partial \beta} \right)_V$$

### U för translation

$$q = \frac{V}{\lambda^3}$$

$$\lambda = \frac{h}{(2\pi m k_B T)^{1/2}} = \frac{h \beta^{1/2}}{(2\pi m)^{1/2}}$$

$$q = \beta^{-3/2} \frac{(2\pi m)^{3/2}}{h^3} V$$

$$\left( \frac{\partial q}{\partial \beta} \right)_V = -\frac{3}{2} \beta^{-5/2} \frac{(2\pi m)^{3/2}}{h^3} V = -\frac{3}{2} \frac{1}{\beta} q$$

$$U = -\frac{N}{q} \left( \frac{\partial q}{\partial \beta} \right) = \frac{3}{2} \frac{N}{\beta}$$

$$\langle \varepsilon \rangle = \frac{U}{N} = \frac{3}{2} \frac{1}{\beta} = \frac{3}{2} k_B T$$

Om

$$N = N_A \cdot U_m = \frac{3}{2} N_A k_B T = \frac{3}{2} R T \quad (\text{käms igen från klassisk termo, gaser})$$

### U för rotation

2D

$$q = \frac{T}{\sigma \Theta_R}$$

$$\Theta_R = \frac{hcB}{k_B}$$

karakteristisk T

$\sigma$  = symmetritalet

$$U = N k_B T^2 \underbrace{\left( \frac{\partial \ln q}{\partial T} \right)_V}_{\sigma}$$

$$\frac{\partial \ln q}{\partial T} = \frac{\partial \ln q}{\partial q} \cdot \frac{\partial q}{\partial T} = \frac{1}{q} \frac{\partial q}{\partial T}$$

$$U = N k_B T^2 \frac{\sigma \Theta_R}{T} \cdot \frac{1}{\frac{\partial q}{\partial T}} = N k_B T$$

$$\langle \varepsilon \rangle = \frac{U}{N} = k_B T$$

$$U_m = R T$$

3D

$$q = \frac{\sqrt{\pi}}{\sigma} \left( \frac{1}{\Theta_A \Theta_B \Theta_C} \right)^{1/2} T^{3/2} = a T^{3/2}$$

$$U = N k_B T^2 \frac{1}{a T^{3/2}} \frac{3}{2} a T^{1/2} = \frac{3}{2} N k_B T$$

$$\langle \varepsilon \rangle = \frac{U}{N} = \frac{3}{2} k_B T$$

$$U_m = \frac{3}{2} R T$$

## U för vibration

$$q = \left(1 - e^{\theta_v/T}\right)^{-1}$$

$$\theta_v = \frac{h \nu_e}{k_B}$$

karakteristisk  
vibrationstemperatur

$$\frac{\theta_v}{T} = \frac{h \nu_e}{k_B T} = h \nu_e \beta, \quad q = \left(1 - e^{-h \nu_e \beta}\right)^{-1}$$

$$U = -\frac{N}{q} \left(\frac{\partial q}{\partial \beta}\right)_V$$

$$\left(\frac{\partial q}{\partial \beta}\right)_V = -\left(1 - e^{-h \nu_e \beta}\right)^{-2} (-e^{-h \nu_e \beta}) (-h \nu_e)$$

$$U = N \frac{h \nu_e e^{-h \nu_e \beta}}{1 - e^{-h \nu_e \beta}} = N \frac{h \nu_e}{e^{h \nu_e \beta} - 1}$$

$$\langle \varepsilon \rangle = \frac{U}{N} = \frac{h \nu_e}{e^{h \nu_e \beta} - 1} = \frac{k_B \theta_v}{e^{\theta_v/T} - 1}$$

$$U_m = R \frac{\theta_v}{e^{\theta_v/T} - 1}$$

Vid hög T (T >> θ\_v)

då  $e^{\theta_v/T} \approx 1 + \frac{\theta_v}{T}$

$$U_m = R \frac{\theta_v}{1 + \frac{\theta_v}{T} - 1} = RT, \quad \langle \varepsilon \rangle = k_B T$$

## Ekvipartitionsprincipen (s 426, fs. s 8)

Varje molekylär frihetsgrad som ger ett kvadratiskt bidrag till molekylens energi bidrar med  $\frac{1}{2} k_B T$  till den inre energin per molekyl

$$\langle \epsilon \rangle \text{ för vibration} = k_B T$$

Detta stämmer med ekvipartitionsprincipen:

$$H = \frac{p_x^2}{2m} + \frac{1}{2} kx^2 \quad 2 \cdot \frac{1}{2} k_B T = k_B T$$

## KANONISKA TILLSTÅNDSSUMMAN

$$Q = \sum_i \exp(-E_i/k_B T)$$

### Kanoniska ensemblen

Begränsning hos  $q$ : tar inte hänsyn till molekylväxelverkan (svår att applicera på t.ex vätskor)

"Replikera" systemen  $(N, V, T)$ , låt energin flöda, men låt  $T$  vara konstant

fig. 13.20 (där  $\tilde{N} = 20$ )

Analys analog med "molekylfallit"

$$\frac{\tilde{N}_i}{\tilde{N}} = \frac{e^{-\beta E_i}}{Q}$$

$$Q = \sum_i e^{-\beta E_i} \quad \text{kanoniska tillståndssumman}$$

Tar hänsyn till molekylväxelverkan

Termodynamiska gränsen  $N \rightarrow \infty$

en dominerande konfiguration

mycket små fluktuationer fig 13.22.

Inre energi

$$U = \frac{\tilde{E}}{\tilde{N}} \quad \text{då } \tilde{N} \rightarrow \infty$$

$$\begin{aligned} U &= \frac{1}{\tilde{N}} \sum_i \tilde{N}_i E_i = \frac{1}{Q} \sum_i E_i e^{-\beta E_i} = \\ &= -\frac{1}{Q} \sum_i \frac{d}{d\beta} e^{-\beta E_i} = -\frac{1}{Q} \left( \frac{\partial Q}{\partial \beta} \right)_V = \\ &= -\left( \frac{\partial \ln Q}{\partial \beta} \right)_V = k_B T^2 \left( \frac{\partial \ln Q}{\partial T} \right)_V \end{aligned}$$

### Beräkning av Q

Oberoende icke särskiljbara molekyler

$$Q = \frac{1}{N!} q^N$$

Motivering  $N! \quad 1 \ 2 \ 3 \quad 3 \ 12 \quad \left. \begin{array}{l} 1 \ 3 \ 2 \\ 2 \ 1 \ 3 \\ 2 \ 3 \ 1 \end{array} \right\} 6=3!$

$$\text{Om } \mathcal{E} = \mathcal{E}_T + \mathcal{E}_K + \mathcal{E}_V + \mathcal{E}_E$$

gäller så gäller  $q = q_T q_K q_V q_E$

$$Q = Q_{\text{trans}} + Q_{\text{int}} \quad \text{formelsamling s. 7}$$

$$Q_{\text{trans}} = q_T^N / N! \quad Q_{\text{int}} = (q_e q_v q_c)^N$$

## VÄRMEKAPACITET $C_V$

$$C_V = \left( \frac{\partial U}{\partial T} \right)_V$$

[ideal gas:  $C_p = C_V + R$ ]

$$T: U_m = \frac{3}{2} RT \Rightarrow C_{V,m} = \frac{3}{2} R$$

$$R^{2D}: U_m = RT \Rightarrow C_{V,m} = R$$

$$V: U_m = R \frac{\Theta_V}{e^{\Theta_V/T} - 1} \Rightarrow C_{V,m} = R \left( \frac{\Theta_V}{T} \right)^2 \frac{e^{\Theta_V/T}}{\left( e^{\Theta_V/T} - 1 \right)^2} = Rf$$

Visa själv!

f: Einsteinfunktionen  $C_{V,m} \rightarrow R$

fig. 14.11 s. 452 , fs. s. 8

## ENTROPI

$$S = k_B \ln W$$

$$\ln W = \ln \frac{N!}{N_0! N_1! \dots} \Rightarrow \left\{ \begin{array}{l} (\text{s. 412}, N \text{ särskiljbara}) \\ \text{partiklar} \end{array} \right\}$$

$$= \ln N! - \ln N_0! N_1! \dots = \ln N! - \sum_i \ln N_i!$$

Stirlings formel (för stora x):  $\ln x! \approx x \ln x - x$

$$\begin{aligned}
 \ln W &= N \ln N - N - \sum (N_i \ln N_i - N_i) = \\
 &= N \ln N - N - \sum N_i \ln N_i + \sum \overset{N}{\cancel{N_i}} = \\
 &= \sum_i N_i (\ln N - \ln N_i) = - \sum_i N_i \ln \frac{N_i}{N} = \\
 &= N \sum_i \frac{N_i}{N} \ln \frac{N_i}{N} = \left\{ \begin{array}{l} \text{sannolikheten} \\ \text{s. 415} \end{array} \quad p_i = \frac{N_i}{N} = \frac{1}{q} e^{-\beta \varepsilon_i} \right\} = \\
 &= -N \sum_i p_i (-\beta \varepsilon_i - \ln q) = N \underbrace{\beta \sum_i p_i \varepsilon_i}_{\langle \varepsilon \rangle} + N \ln q \underbrace{\sum_i p_i}_1 = \\
 &\quad \left\{ N \langle \varepsilon \rangle = U \right\}
 \end{aligned}$$

$$\ln W = \beta U + N \ln q, \quad \beta = \frac{1}{k_B T}$$

$$S = k_B \ln W = \frac{U}{T} + N k_B \ln q$$

1 termen är  $\underline{Q = q^N}$

$$S = \frac{U}{T} + k_B \ln Q$$

OBS! Icke-särskiltjbara molekyler (typiskt gas)

$$Q = \frac{1}{N!} q^N$$

Translationsentropi smf. s 36

# TERMODYNAMISKA FUNKTIONER

s. 499-500

$$U = - \left( \frac{\partial \ln Q}{\partial P} \right)_V$$

$$S = \frac{U}{T} + k_B \ln Q$$

$$A = U - TS = U - U - k_B T \ln Q = -k_B T \ln Q$$

$$dA = dU - TdS - SdT =$$

$$= \left\{ dU = TdS - PdV \quad (1 \text{ HS}, 2 \text{ HS, rev EC}) \right\} = \\ = -SdT - PdV$$

$$P = - \left( \frac{\partial A}{\partial V} \right)_T = k_B T \left( \frac{\partial \ln Q}{\partial V} \right)_T$$

$$H = U + PV$$

$$G = H - TS = U + PV - TS = A + PV$$

$$G = -k_B T \ln Q + k_B T \cdot V \left( \frac{\partial \ln Q}{\partial V} \right)_T$$

Jämför  $S = \frac{U}{T} + k_B \ln Q$  med  $dS = \frac{dq_{rev}}{T}$

l:a, 2:a HS + rev EC-arbete:  $dU = TdS - PdV$

$$TdS = dU + PdV = dU + k_B T \left( \frac{\partial \ln Q}{\partial V} \right)_T dV = \\ = dU + k_B T d\ln Q$$

$$dS = \frac{dU}{T} + k_B d\ln Q$$

Jämför med  $S = \frac{U}{T} + k_B \ln Q$   
differentiera vid konstant  $T$

$$dS = \frac{dU}{T} + k_B d\ln Q$$

samma som klassiskt  
mer seriöst Atkins s. 488

## Mer om G (s. 500)

special fall: ideal gas  $pV=nRT$

$$G = A + nRT = -k_B \ln Q + nRT$$

$$Q = \frac{1}{N!} q^N$$

$$\ln Q = \ln q^N - \ln N! \approx \overset{\text{stirlings}}{N \ln q - N \ln N + N}$$

$$G = -k_B T (N \ln q - N \ln N + N) + nRT =$$

$$= \left\{ N = n N_A, k_B N_A = R \right\} =$$

$$= G = -nRT \ln q + nRT \ln N - \cancel{nRT} + \cancel{nRT} =$$

$$G = -nRT (\ln q - \ln N) = -nRT \ln \frac{q}{N}$$

$$G_m^\ominus = -R + \ln \frac{q_m^\ominus}{N_A} \quad n = 1 \text{ mol}$$

$$P = P^\ominus = 1 \text{ bar} \quad \text{dvs}$$

$$q_T \quad \text{vid } V = V_m^\ominus = \frac{RT}{P^\ominus}$$



# FYSIKALISK KEMI

## FÖRELÄSNING 12

### Gibbs funktion (ideal gas)

$$G = -nRT \ln \frac{q}{N}$$

$$\frac{q}{N} = \frac{q}{n N_A} = \frac{q_m}{N_A}$$

$q_m$  = molära tillståndssumman  
 $q/n$

$$G_m = \frac{G}{n} = -RT \ln \frac{q_m}{N_A}$$

$$q_m = \underbrace{\frac{q_T}{n}}_{\left\{ \begin{array}{c} V \\ n \Lambda^3 \end{array} \right\}} \underbrace{q_R q_V q_E}_{q_{int}} = \quad (q_{int} \text{ för interna frihetsgrader})$$

$$\left\{ \begin{array}{c} q_{int} \\ \Lambda \text{ termiska väglängden} \end{array} \right\}$$

$V_m$  molvolym

$$= \frac{V_m}{\Lambda^3}, \quad V_m = \frac{RT}{P}$$

$$G_m^\ddagger = -RT \ln \frac{q_m^\ddagger}{N_A}$$

$$q_m^\ddagger = q_{T,m}^\ddagger q_{int}^\ddagger$$

$$q_{T,m}^\ddagger = \frac{RT}{P^\ddagger \Lambda^3}$$

# Kemisk jämvikt (17.3)

(Vid ett specifikt fall, dissociation.)

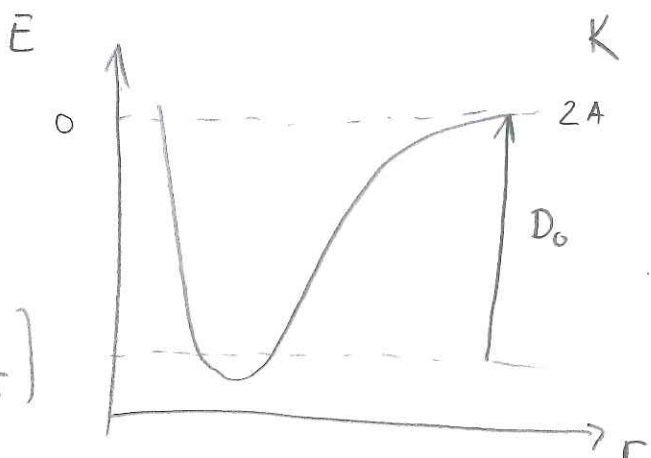
Ex



$$\Delta_r G^\circ = 2G_m^\circ(A) - G_m^\circ(A_2) = -RT \ln K$$

$$G_m^\circ = -RT \ln \frac{q_m^\circ}{N_A}$$

$$\begin{aligned} \Delta_r G^\circ &= -RT \left( 2 \ln \frac{q_m^\circ(A)}{N_A} - \ln \frac{q_m^\circ(A_2)}{N_A} \right) = \\ &= -RT \ln \left( \frac{(q_m^\circ(A)/N_A)^2}{(q_m^\circ(A_2)/N_A)} \right) \end{aligned}$$



$$\left(\beta = \frac{1}{k_B T}\right)$$

Vi behöver en  
gemensam energireferens  
för  $A_2$  och  $A$

välj separerade atomer

Lägg till  $-D_0$  vid beräkning  
av vibrationsbidraget till  $q$

$$q'_v = \sum_v e^{-\beta(\epsilon_v - D_0)} = e^{\beta D_0} \cdot \sum_v e^{-\beta \epsilon_v} =$$

$$= e^{\beta D_0} q_v = q_v e^{D_0/k_B T}$$

$$K = \frac{(q_m^\circ(A)/N_A)^2}{(q_m^\circ(A_2)/N_A)} e^{-D_0/k_B T}$$

$$\text{där } q_m^\circ = q_{T,m}^\circ q_{int}$$

# INTERMOLEKYLÄRA KRAFTER (KAP 8)

## Dipol-dipol-växelverkan s. 223

stg. 1. Betrakta jon-dipol



Coulombs lag, potentiell energi blir

$$V = \frac{Q_1 Q_2}{4\pi \epsilon_0} \left( \frac{1}{r + \frac{l}{2}} - \frac{1}{r - \frac{l}{2}} \right) = \frac{Q_1 Q_2}{4\pi \epsilon_0 r} \left( \frac{1}{1+x} - \frac{1}{1-x} \right) \quad \left\{ \text{där } x = \frac{l}{2r} \right\}$$

Taylorutveckling  $f(x) \approx f(0) + f'(0)x + \dots$

$$f = (1+x)^{-1} \quad f(0) = 1$$

$$f' = - (1+x)^{-2} \quad f'(0) = -1$$

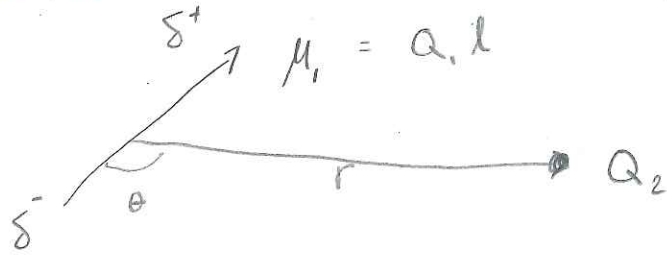
$$\frac{1}{1+x} \approx 1-x$$

OK om  $x \ll 1$  dvs  $l \ll r$  "punktadipol"

$$V \approx \frac{Q_1 Q_2}{4\pi \epsilon_0 r} \left( 1 - x - (1+x) \right) = - \frac{2x Q_1 Q_2}{4\pi \epsilon_0 r} =$$

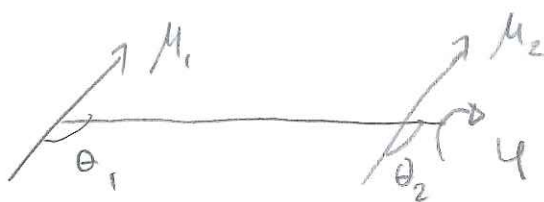
$$= - \frac{(l Q_1) Q_2}{4\pi \epsilon_0 r^2} = - \frac{\mu_1 Q_2}{(4\pi \epsilon_0) r^2}$$

## Generellt ion-dipol



$$V(r, \theta) = -\frac{\mu_1 Q_2}{(4\pi \epsilon_0 r^2)} \cos \theta$$

Steg 2: Dipol-dipol (analogt) s. 224



$$V(r, \theta_1, \theta_2, \phi) = -\frac{\mu_1 \mu_2}{(4\pi \epsilon_0 r^3)} f(\theta_1, \theta_2, \phi)$$

Steg 3: Termiskt medelvärde

Integrera över  $\theta_1, \theta_2, \phi$

Viktat med  $e^{-V/k_B T}$

$$\langle V \rangle = -\frac{2 \mu_1^2 \mu_2^2}{3(4\pi \epsilon_0)^2 k_B T r^6} \propto -\frac{C}{r^6}$$

# Kemisk reaktionshastighet (kap 19)

fig 19.3



$$\frac{d[D]}{dt} = \frac{1}{3} \frac{d[C]}{dt} = -\frac{d[A]}{dt} = -\frac{1}{2} \frac{d[B]}{dt}$$

$$0 = \sum_j v_j J$$

## Reaktionshastigheten

$$v = \frac{1}{J} \frac{d[J]}{dt}$$

Hastighetsetuationen  $v = f([A], [B], \dots)$

Ex

$$v = k [A]^a [B]^b$$

$k$  hastighetskonstant,  $a$ : ordning map A  
 $a+b$ : total ordning

Enhet på  $k$ :

$$v: \text{M s}^{-1}$$

$$v = k [A]$$

$$k: \frac{\text{M s}^{-1}}{\text{M}} = \text{s}^{-1}$$

$$v = k [A] [B]$$

$$k: \frac{\text{M s}^{-1}}{\text{M}^2} = \text{M}^{-1} \text{s}^{-1}$$

## Att bestämma ordning

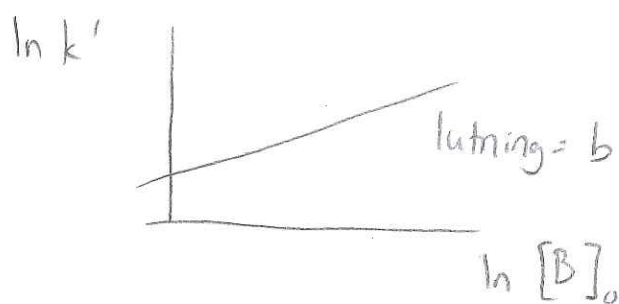
$$v = k [A]^a [B]^b$$

överskott av B:  $[B] = [B]_0$ .

$$v = k' [A]^a; k' = k [B]_0^b$$

Mät  $k'$  för olika val av  $[B]_0$ .

$$\ln k' = \ln k + b \ln [B]_0$$



$$\ln v = \ln k + a \ln [A] + b \ln [B]$$

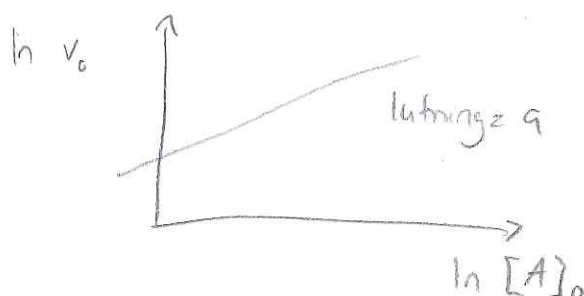
Mät  $v_0$  ( $v$  vid  $t \approx 0$ ) för olika  $[A]_0, [B]_0$ .

$$\ln v_0 = \ln k + a \ln [A]_0 + b \ln [B]_0$$

Låt  $[B]_0$  vara konstant

$$\ln v_0 = c + a \ln [A]_0$$

(s. 627-628 bra exempel)



# I:a ordningens kinetik



Antag att reaktionen är av första ordningen

$$v = - \frac{d[A]}{dt} = k [A]$$

Separera variabler ( $t, [A]$ )

$$\frac{d[A]}{[A]} = -k dt$$

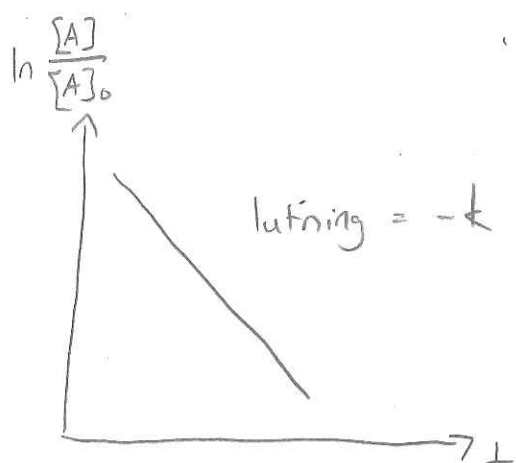
$$\int_{[A]_0}^{[A]} \frac{d[A]}{[A]} = -k \int_0^t dt$$

$$\left[ \ln \frac{[A]}{[A]_0} \right] = -kt$$

$$\boxed{\ln [A] - \ln [A]_0 = -kt}$$

$$\ln \frac{[A]}{[A]_0} = -kt$$

$$\boxed{[A] = [A]_0 e^{-kt}}$$



Efter  $t_{1/2}$  är  $[A] = \frac{1}{2} [A]_0$

$$\ln \frac{1}{2} = -kt_{1/2}$$

$$t_{1/2} = \frac{\ln 2}{k}$$

Oberoende av  $[A]_0$   
för I:a ordningen

Tidkonstant:  $t = \tau$  då

$$\frac{[A]}{[A]_0} = \frac{1}{e} ; \quad \ln \frac{1}{e} = -k\tau$$

$$\ln 1 - \ln e = -k\tau$$

$$\boxed{\tau = \frac{1}{k}}$$

# FYSIKALISK KEMI

## FÖRELÄSNING

### FÖRSTA ORDNINGENS KINETIK

Ex Vill visa/ att det är första ordningen  
testa om

Antag första ordningen, dvs

$$\boxed{\frac{d[A]}{dt} = -k[A]}$$

$$[A] = \frac{n_A}{V} = \frac{P_A}{RT} \quad (\text{antag ideal gas})$$

$$\frac{dP_A}{dt} = -k P_A$$

$$\int_{P_0}^{P_A} \frac{dP_A}{P_A} = -k \int_0^t dt$$

$$\ln \frac{P_A}{P_0} = -kt$$

kan skrivas, då partialtrycket hänger ihop med  $P_{\text{tot}}$

$$\ln \frac{2P_0 - P_{\text{tot}}}{P_0} = -kt$$

kontrollera linjen! om rät, den är  
första ordningen

## ANDRA ORDNINGENS KINETIK



$$-\frac{d[A]}{dt} = 2k[A]^2$$

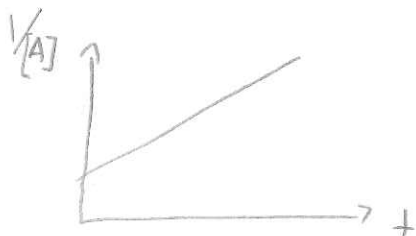
$$\frac{d[A]}{[A]^2} = -\underbrace{2k}_{k \text{ i Aktions}} dt$$

integering  $\Rightarrow$

$$\int_{[A]_0}^{[A]} \frac{d[A]}{[A]^2} = -2k \int_0^t dt$$

$$\left[ -\frac{1}{[A]} \right]_{[A]_0}^{[A]} = -2kt$$

$$\frac{1}{[A]} - \frac{1}{[A]_0} = 2kt$$



$$[A] = \frac{1}{2} [A]_0 \Rightarrow$$

$$\frac{2}{[A]_0} - \frac{1}{[A]_0} = 2kt_{1/2} \Rightarrow t_{1/2} = \frac{1}{2k[A]_0}$$

halveringstiden beror av initialhalten! (till skillnad från första ordningens)

Andra ordningens reaktion ger långsammare än första

## Jämvikt



$$A \rightarrow B \quad v_f = k[A]$$

$$B \rightarrow A \quad v_r = k'[B]$$

$$\frac{d[A]}{dt} = -k[A] + k'[B]$$

$$t=0 : \quad [A] = [A]_0, \quad [B] = 0$$

$$[A] + [B] = [A]_0$$

$$\text{vid jämvikt. } v_r = v_f \quad \left( \frac{d[A]}{dt} = 0 \right)$$

$$k[A] = k'[B]$$

$$\boxed{\frac{k}{k'} = \frac{[B]}{[A]} = K_c}$$

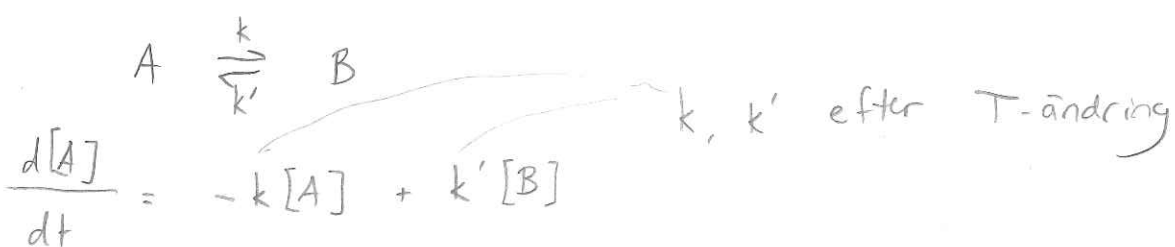
## Relaxation till jämvikt

(fig: 19.9) utsätter jämvikt för plötslig Tändring, se hur det ändras mot ny jämvikt

Nya jämviktsvärden,  $[A]_{eq}, [B]_{eq}$

$$[A] = [A]_{eq} - x \quad t=0 : x=x_0$$

$$[B] = [B]_{eq} + x \quad t \rightarrow \infty : x \rightarrow 0$$



$$\frac{d[A]}{dt} = -k([A]_{eq} - x) + k'([B]_{eq} + x) =$$

$$= \underbrace{-k[A]_{eq}}_{=0 \text{ vid jämvikt}} + \underbrace{k'[B]_{eq}}_{=0 \text{ vid jämvikt}} + (k+k')x$$

$$\frac{d[A]}{dt} = \frac{d([A]_{eq} - x)}{dt} = -\frac{dx}{dt} = (k+k')x$$

$$\frac{dx}{x} = -(k+k')dt \Rightarrow x = x_0 e^{-t/\tau} \quad \text{där } \tau = \frac{1}{k+k'}$$

## Reaktionsmekanismer

mekanism: en serie elementära reaktionssteg

Molekylaritet: antalet inblandade molekyler i steget

Ex



$$\frac{d[A]}{dt} = -k_a [A] \quad (1)$$

$$\frac{d[I]}{dt} = k_a [A] - k_b [I] \quad (2)$$

$$\frac{d[P]}{dt} = k_b [I] \quad (3)$$

$$(1): \quad [A] = [A]_0 e^{-k_a t} \quad (4)$$

$$(2): \quad \frac{dI}{dt} + k_b [I] = k_a [A]_0 e^{-k_a t} \quad (5)$$

jm fr  
BETA q. 1

$$g' + f(x)y = g(x)$$

$$[I] = \frac{k_a}{k_b - k_a} (e^{-k_a t} - e^{-k_b t}) \quad (6)$$

$$[A] + [I] + [P] = [A]_0 \quad (7)$$

(4), (6), (7)  $\Rightarrow$

$$[P] = \left( 1 + \frac{k_a e^{-k_b t} - k_b e^{-k_a t}}{k_b - k_a} \right) [A]_0 \quad (8)$$

sid 636

### Steady-state-approximationen



omtga  $k_a \ll k_b$  (fig 19.11)

$$\frac{d[I]}{dt} = k_a [A] - k_b [I] \approx 0$$

$$\rightarrow k_b [I] = k_a [A]$$

$$\frac{d[P]}{dt} = k_b [I] = k_a [A] = k_a [A]_0 e^{-k_a t}$$

integgering

$$[P] = k_a [A]_0 \int_0^t e^{-k_a t} dt = k_a [A]_0 \left[ -\frac{1}{k_a} e^{-k_a t} \right]_0^t =$$

$$[A]_0 (1 - e^{-k_a t})$$

beror ej av  $k_b$

a-steget är hastighetsbegränsande

### Lindemannmekanismen



$$\frac{d[A^*]}{dt} \approx 0 \Rightarrow \frac{d[P]}{dt} = k [A] \text{ där } k = \frac{k_a k_b [M]}{k_b + k_a' [M]}$$

Högt tryck (gasfas) ( $[M]$  stor) :

$$k = \frac{k_a k_b}{k'_a}$$

Lågt tryck:  $k = k_a [M]$

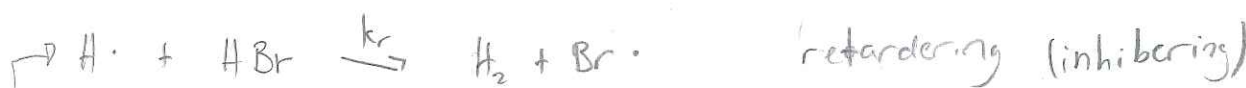
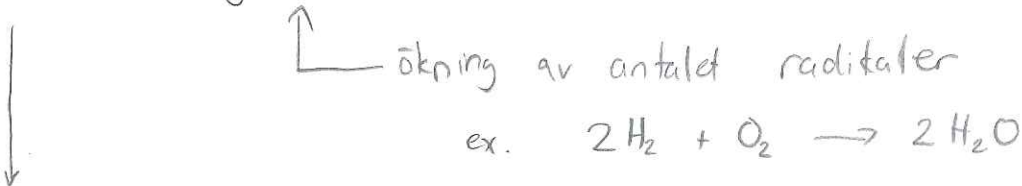
dvs  $\frac{d[P]}{dt} = k_a [M] [A]$

2:a ordningen!

## Kedjereaktioner

Kedjebärare: radikaler ( $x\cdot$ )

Raka och grändade kedjereaktioner



g viktigt initialet  $[HBr] = 0$

$$\frac{d[HBr]}{dt} = k_p [Br\cdot] [H_2] + k_p' [H\cdot] [Br_2] \quad (1)$$

$$\frac{d[H\cdot]}{dt} = k_p [Br\cdot] [H_2] - k_p' [H\cdot] [Br_2] \stackrel{s \gg 0}{\approx} 0 \quad (2)$$

$$\frac{d[\text{Br}^\cdot]}{dt} = 2k_i [\text{Br}_2][\text{M}] - k_p [\text{Br}^\cdot][\text{H}_2] + k_p' [\text{H}^\cdot][\text{Br}_2] - 2k_f [\text{Br}^\cdot]^2 [\text{M}] \approx 0 \quad (3)$$

$$(2) + (3) : k_i [\text{Br}_2] = k_f [\text{Br}^\cdot]^2$$

$$[\text{Br}^\cdot] = \left(\frac{k_i}{k_f}\right)^{1/2} [\text{Br}_2]^{1/2} \quad (4)$$

(2) och (4)

$$k_p \left(\frac{k_i}{k_f}\right)^{1/2} [\text{Br}_2]^{1/2} [\text{H}_2] = k_p' [\text{H}^\cdot][\text{Br}_2]$$

$$[\text{H}^\cdot] = \frac{k_p}{k_p'} \left(\frac{k_i}{k_f}\right)^{1/2} \frac{[\text{H}_2]}{[\text{Br}_2]^{1/2}} \quad (5)$$

(1), (4), (5)

$$\begin{aligned} \frac{d[\text{HBr}]}{dt} &= k_p \left(\frac{k_i}{k_f}\right)^{1/2} [\text{Br}_2]^{1/2} [\text{H}_2] + k_p' \left(\frac{k_i}{k_f}\right)^{1/2} [\text{H}_2][\text{Br}_2]^{1/2} = \\ &= 2k_p \left(\frac{k_i}{k_f}\right)^{1/2} [\text{H}_2][\text{Br}_2]^{1/2} \end{aligned}$$



# FYSIKALISK KEMI

## FÖRELÄSNING 14

### FOTOKEMI

Koppla till kap II och lab 5

Kvantutbytet  $\phi$  för en process

$$\phi = \frac{\text{antalet "händelser"}}{\text{antalet absorberade fotoner}} = \frac{v}{I_{\text{abs}}}$$

Alla exciterade molekyler deexciteras, dvs

$$I_{\text{abs}} = \sum_i v_i$$

$$\phi_i = \frac{v_i}{\sum v_i} \quad \text{Alltså gäller } \sum_i \phi_i = 1$$

(Kom ihåg: S: singlett (11) triplet (11)



## 1). Kontinuerlig belysning

$$\frac{d[S^*]}{dt} = I_{abs} - k_f [S^*] - k_{ic} \overset{ss}{[S^*]} - k_{isc} \overset{ss}{[S^*]} = 0$$

$$I_{abs} = (k_f + k_{ic} + k_{isc}) [S^*]$$

$$\phi_f = \frac{V_f}{I_{abs}} = \frac{k_f \overset{ss}{[S^*]}}{(k_f + k_{ic} + k_{isc}) \overset{ss}{[S^*]}}$$

$$\phi_{f,0} = \frac{k_f}{k_f + k_{ic} + k_{isc}}$$

## 2). "Släck lampan" (efter laserpuls)

$$\frac{d[S^*]}{dt} = - (k_f + k_{ic} + k_{isc}) [S^*]$$

$$[S^*]_+ = [S^*]_0 e^{-t/\tau_0}$$

$$\tau_0 = \frac{1}{k_f + k_{ic} + k_{isc}} \quad \text{livslängden lab 5}$$

$$\phi_{f,0} = k_f \tau_0$$

## Quenchning (utsläckning)



$$V_Q = k_Q [S^*] [Q]$$

$$\phi_f = \frac{k_f}{k_f + k_{ic} + k_{isc} + k_Q [Q]} = k_f \tau$$

$$\frac{\phi_{f,0}}{\phi_f} = \frac{k_f + k_{ic} + k_{isc} + k_a [Q]}{k_f + k_{ic} + k_{isc}} = 1 + \tau_0 k_a [Q] =$$

$\frac{1}{\tau} = \frac{\tau_0}{\tau}$  Stern - Volmer plot fig 19.20

$$\frac{1}{\tau} = \frac{1}{\tau_0} + k_a [Q]$$

T-beroende hos hastighetskonstanter

Man finner ofta experimentelt att

$$K = A e^{-E_a/RT}$$

$$\ln K = \ln A - \frac{E_a}{RT}$$

fig 20.1

A: pre-exponentiell faktor

E<sub>a</sub>: aktiveringsenergi

$$\frac{d \ln K}{dT} = \frac{E_a}{R T^2} \quad \text{Def} \quad E_a = RT^2 \frac{d \ln K}{dT}$$

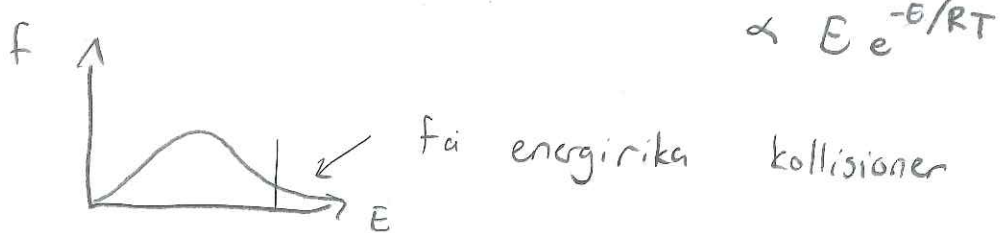
E<sub>a</sub> nära relaterad, men inte identisk med barriärhöjden E<sub>c</sub>



Tolkning A: Eff mott på kollisionsfrekvensen

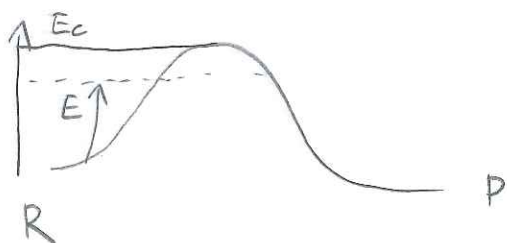
$e^{-E_a/RT}$  Andelen kollisioner med tillräcklig energi för reaktion

Kom ihag Maxwell Boltzmann:  $f(v) \propto v^2 e^{-mv^2/2k_b T} \propto$



Tunndeffekten! fig 2.6

Reaktioner med väldigt låg T



Reaktion trots att  
 $E < E_c$

# FYSIKALISK KEMI

## FORELÄSNING 15

### REAKTIONER I LÖSNING



$$v = k_d [A][B]$$



$$v = k_d' [A][B]$$



$$v = k_a [AB]$$

$$\frac{d[AB]}{dt} = k_d [A][B] - k_d' [AB] - k_a [AB] \xrightarrow{ss} 0$$

$$[AB] = \frac{k_d [A][B]}{k_a + k_d'}$$

$$\frac{d[P]}{dt} = k_a [AB] = \underbrace{\frac{k_a k_d}{k_a + k_d'}}_{k_2} [A][B]$$

olika fall

i). Diffusionskontrollerad reaktion,  $k_d' \ll k_a$

$$k_2 \approx \frac{k_a k_d}{k_a} = k_d$$

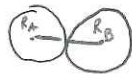
ii). Aktiveringskontrollerad reaktion,  $k_d' \gg k_a$

$$k_2 = \frac{k_a k_d}{k_d'} = k_a K, \quad K = \frac{[AB]}{[A][B]} = \frac{k_d}{k_d'}$$

# Diffusionskontroll

$$k_d = 4\pi R^* D N_A \quad \text{S. 667}$$

$$R^* = R_A + R_B$$



$$D = D_A + D_B \quad \text{om approximerar partiklarna som sfärer}$$

$$D_i = \frac{k_B T}{6\pi \eta R_i}$$

$\eta$  - viskositet hos  
lösningsmedlet

$$D = \frac{k_B T}{6\pi \eta} \left( \frac{1}{R_A} + \frac{1}{R_B} \right)$$

$$k_d = 4\pi \frac{k_B T}{6\pi \eta} N_A (R_A + R_B) \left( \frac{1}{R_A} + \frac{1}{R_B} \right) =$$

$$= \frac{2(k_B N_A)T}{3\eta} \left( 1 + \frac{R_A}{R_B} + \frac{R_B}{R_A} + 1 \right) =$$

$$= \frac{2RT}{3\eta} \left( 2 + \frac{R_A}{R_B} + \frac{R_B}{R_A} \right) \approx \frac{8RT}{3\eta} \quad (\text{om } R_A \approx R_B)$$

## TRANSITION STATE THEORY (EYRING)

En statistisk teori för  $k(T)$



"aktivierat  
komplex"

Reaktion eller ej  
avgörs här



$$K^\ddagger = \frac{(P_C^\ddagger / P^\circ)}{(P_A / P^\circ)(P_B / P^\circ)} = \frac{P_C^\ddagger P^\circ}{P_A P_B} = \left\{ \begin{array}{l} \text{ideal gas} \\ P_j = RT [J] \end{array} \right\} =$$

$$\frac{P^*}{RT} \frac{[C^*]}{[A][B]}$$

$$[C^*] = \underbrace{\frac{RT}{P^*} K^*}_{K_c^*} [A][B]$$

$$v = \frac{d[P]}{dt} = k^* [C^*] = \underbrace{K_c^* k^*}_{k_2(T)} [A][B]$$

$K_c^* = \frac{RT}{P^*} K^*$  :  $K^*$  kan beräknas via tillståndssummor (kap 17)

$K^*$  : analysera rörelsen längs reaktionskoordinaten vid "transition state"

$$\Rightarrow k_2 = K \frac{k_B T}{h} K_c^{-*}$$

$K$  : transmissionskoefficienten ( $K=1$ , vet ofta inget om den)

förelsen längs reaktionskoordinaten saknas i  $\bar{K}_c^{-*}$

## Termodynamisk formulering

$$\Delta G^\ddagger = -RT \ln \bar{K}^\ddagger \quad (\Delta G^\ddagger! \text{ alla för later för att skriva})$$

$$\bar{K}^\ddagger = e^{-\Delta G^\ddagger / RT}$$

$$\bar{K}_c^{-*} = \frac{RT}{P^*} e^{-\Delta G^\ddagger / RT}$$

$$\Delta G^\ddagger = \Delta H^\ddagger - T \Delta S^\ddagger$$

↑                      ↑  
 aktiveringsenthalpi   aktiveringsentropi

$$k_2 = K \frac{k_B T}{h} \frac{RT}{P} e^{-\Delta H^\ddagger / RT} e^{\Delta S^\ddagger / R}$$

$$k_2 = B(T) e^{\Delta S^\ddagger / R} e^{-\Delta H^\ddagger / RT} \propto T^2 e^{-\Delta H^\ddagger / RT}$$

$$\ln k_2 = C + 2 \ln T - \frac{\Delta H^\ddagger}{RT}$$

$$E_a = RT^2 \frac{d \ln k_2}{dT} = RT^2 \left( \frac{2}{T} + \frac{\Delta H^\ddagger}{RT^2} \right)$$

$$E_a = 2RT + \Delta H^\ddagger \quad , \quad \Delta H^\ddagger = E_a - 2RT$$

$$k_2 = \underbrace{e^2 B}_{A} e^{\Delta S^\ddagger / R} e^{-E_a / RT}$$

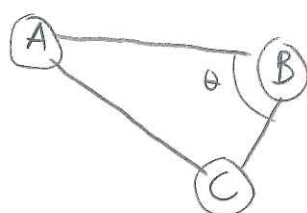
Arrheniusform



Ovanligt stor entropiminstning motsvarar liten sterisk faktor, dvs stora steriska hinder

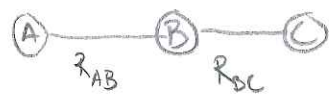
## POTENTIALENERGI YTOR

(s. 681)



$$V = V(R_{AB}, R_{BC}, R_{AC})$$

För att kunna plotta: fixera t.ex.  $\theta = 180^\circ$



$$V = V(R_{AB}, R_{BC})$$

meningsfullt om  $\theta = 180^\circ$  motsvarar en gynnsam reaktionsväg

## MOLEKYL DYNAMIK

Lös Newtons ekvationer för atomerna!

$$F = m \ddot{x}_i = m \frac{d^2x_i}{dt^2} = m \frac{d}{dt} \left( \frac{dx_i}{dt} \right) = m \frac{d^2x_i}{dt^2}$$

$$F = -\frac{dV}{dx}$$

$V(x)$ : potentiell energi

$$\frac{d^2x_i}{dt^2} = -\frac{1}{m_i} \frac{\partial V}{\partial x_i}$$

Ger detaljerad information

Kan simulera experiment

⊖  $V(x)$  ofta osäker

Inga kvanteffekter

Relativt korta tidsförlopp

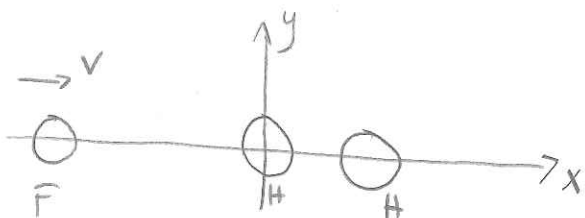
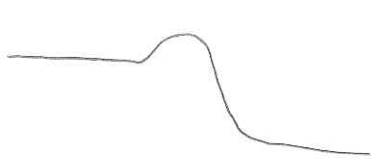
⊕ Enkelt! Generellt!

Kan simulera stora system

Ger ofta god förståelse

Mycket viktig metod inom fysik, kemi, biokemi  
katalys, etc.

Ex



# KVANTDYNAMIK

Tidsberoende Schrödinger ekvationen

$$i\hbar \frac{\partial \Psi}{\partial t} = \hat{H} \Psi$$

Formell lösning

$$\frac{d\Psi}{\Psi} = \frac{\hat{H}}{i\hbar} dt = -\frac{i\hat{H}}{\hbar} dt$$

$$\ln \frac{\Psi(t)}{\Psi(0)} = -\frac{i\hat{H}t}{\hbar}$$

$$\Psi(t) = e^{-i\hat{H}t/\hbar} \Psi(0) \quad \text{Taylor!}$$

$$\Psi(t) = \left(1 - \frac{i\hat{H}t}{\hbar} + \dots\right) \Psi(0) = \Psi(0) - \frac{i\hat{H}t}{\hbar} \Psi(0) + \dots$$

Tidspropagering (princip)

Bonus:

Om  $\Psi(0)$  är en egenfunktion:  $\hat{H}\Psi = E\Psi$

$$\begin{aligned} \Psi(t) &= \Psi(0) - \frac{it}{\hbar} E \Psi(0) + \dots = \left(1 - \frac{itE}{\hbar} + \dots\right) \Psi(0) = \\ &= \underbrace{e^{-iEt/\hbar}}_{\substack{\text{t-beroende} \\ \text{faktor}}} \underbrace{\Psi(0)}_{\substack{\text{x-beroende} \\ \text{tidsberoende}}} \end{aligned}$$

$$|\Psi(t)|^2 = |\Psi(0)|^2 \text{ tidsberoende!} \quad \Psi(0): \text{stationär tillstånd}$$